



(12)

CERERE DE BREVET DE INVENTIE

(21) Nr. cerere: a 2017 01176

(22) Data de depozit: 29/12/2017

(41) Data publicării cererii:
30/08/2019 BOPI nr. 8/2019

(71) Solicitant:
• UNIVERSITATEA POLITEHNICA
BUCUREȘTI, SPLAIU INDEPENDENȚEI
NR.313, SECTOR 6, BUCUREȘTI, B, RO

(72) Inventatorii:
• PETRESCU LUCIAN,
STR.BARBU DELAVRANCEA NR.2B,
BL.33D, SC.A, AP.2, SECTOR 1,
BUCUREȘTI, B, RO;

• MORAR ANCA, STR.OŁĀNEŞTI NR.4,
BL.43A, SC.1, AP.5, SECTOR 6,
BUCUREȘTI, B, RO;
• MOLDOVEANU FLORICA,
ALEEA BAIA DE ARIEŞ NR.5, BL.1, SC.3,
AP.33, SECTOR 6, BUCUREȘTI, B, RO;
• MOLDOVEANU ALIN,
ALEEA BAIA DE ARIEŞ NR.5, BL.1, SC.3,
ET.4, AP.39, SECTOR 6, BUCUREȘTI, B,
RO

Această publicație include și modificările descrierii, revendicărilor și desenelor, depuse conform art. 35, alin. (20), din HG nr. 547/2008.

SISTEM PENTRU SEGMENTAREA IMAGINIILOR VIDEO ÎN TIMP REAL, BAZAT PE TRASARE DE RAZE

(57) Rezumat:

Invenția se referă la un sistem și la o metodă de segmentare a imaginilor video în timp real. Sistemul conform invenției cuprinde: un dispozitiv de achiziție sau de generare a unor matrice bi- sau multi-dimensionale ca set de date de intrare, un modul optional de preprocesare a datelor de intrare, de exemplu, prin filtrarea zgomotelor, un mod de segmentare rară prin trasarea de raze, ce scoate la ieșire regiuni continue disjuncte prin metoda de segmentare conform invenției, și un modul de post-procesare ce utilizează regiunile disjuncte în funcție de scopul aplicației. Metoda de segmentare conform invenției cuprinde următoarea succesiune de etape: calcularea unui flux adaptiv peste setul de date de intrare, ce descrie rata de schimbare a valorii unui segment relativ la vecinătatea aceluui element; construcția de generatori de subseturi, numiți și puncte germe de segmentare, într-un mod pseudo-aleatoriu, folosind secvențe de tip Sobol, Hammersly și Van der Corput, sau distribuții Poisson; trasarea de raze multiple plecând de la generatorii de subseturi, trasarea garantând o acoperire eficientă a întregului set de date, dar cu un număr foarte mic de eșantioane, minimizând costurile explorării spațiului de căutare; conectarea generatorilor de subseturi în momentul în care razele trasate anterior se intersectează; extinderea, optională, a subseturilor generate, pentru a

acoperi complet setul de date inițial, utilizând un proces iterativ de filtrare; unirea, optională, a subseturilor generate, folosind un proces iterativ de calcul de statistici și unificare pe baza statisticilor.

Revendicări inițiale: 1

Revendicări amendate: 2

Figuri: 10

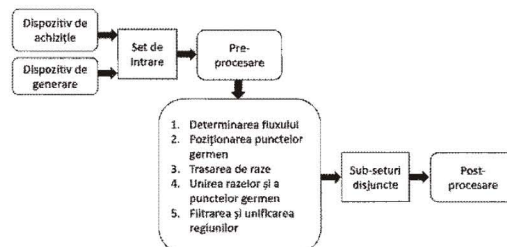


Fig. 1

Cu începere de la data publicării cererii de brevet, cererea asigură, în mod provizoriu, solicitantului, protecția conferită potrivit dispozitivelor art.32 din Legea nr.64/1991, cu excepția cazurilor în care cererea de brevet de inventie a fost respinsă, retrasă sau considerată ca fiind retrasă. Întinderea protecției conferite de cererea de brevet de inventie este determinată de revendicările conținute în cererea publicată în conformitate cu art.23 alin.(1) - (3).



75

| |
|--|
| OFICIUL DE STAT PENTRU INVENTII SI MARC. |
| Cerere de brevet de inventie |
| Nr. a 2017 01176 |
| Data depozit 29 -12 - 2017 |

DESCRIEREA INVENTIEI

SISTEM PENTRU SEGMENTAREA IMAGINILOR VIDEO IN TIMP REAL, BAZAT PE TRASARE DE RAZE

Sistemul propus (inventia) are la bază un algoritm original de segmentare (partitionare) a câmpurilor K-dimensionale (exemplu: imagini bidimensionale), care asigura o viteza la executie de aproape 5 ori mai mare decât cea realizata de sistemele existente, după cum se poate observa în Figura 9. Această performanță este obținută prin redefinirea problemei de partitioare ca o problemă de trasare de raze utilizând unitatea de procesare grafică (GPU: Graphical Processing Unit) a calculatorului.

Algoritmul a fost dezvoltat pentru Sound of Vision [32], un sistem asistiv pentru nevăzători care scană mediul înconjurător prin camere video, identifică elementele de interes din imaginile obținute și emite semnale audio și haptice care permit utilizatorului să percepă mediul înconjurător, ajutându-l să navezeze în medii necunoscute. Cu toate că în sistemul Sound of Vision algoritmul de segmentare partionează imagini bidimensionale, modelul său matematic poate fi folosit pentru partitioarea de seturi de date K-dimensionale. Figura 1 prezintă modul de funcționare a sistemului, care obține date de intrare de la un dispozitiv de achiziție sau de la un generator de date (de exemplu, prin calcule științifice). Un modul de pre-procesare prelucrează datele înainte de segmentare (de exemplu, pentru sistemul Sound of Vision, modulul de pre-procesare determină un nor de puncte pornind de la o imagine de adâncime și calculează o hartă de normale). Urmează segmentarea cu trasare de raze, care scoate la ieșire sub-seturi disjuncte. Post-procesarea poate fi orice modul care utilizează sub-seturile disjuncte, pentru identificarea și urmărirea de obiecte (exemplu: în sistemul Sound of Vision modulul de post-procesare identifică obiecte de interes în mediu, cum ar fi podeaua, peretii, tavanul, obstacolele, scările și le interpretează în semnale audio și haptice).

Inventia poate fi aplicată în domeniul informatic medical (detectare automată de tumori din scanări CT/ RMN, sisteme asistive), roboți industriali (programele de decizie ale roboților autonomi industriali și a dronelor folosesc segmentare), industria automobilelor (segmentarea este folosită de mașini cu conducere automată pentru percepția elementelor de trafic), securitate (urmărirea automată pe camere de securitate folosește segmentare, detecția automată a elementelor de interes folosește segmentare), etc.

Deoarece segmentarea reprezintă un pas critic într-un număr mare de probleme, acest subiect este intens cercetat și abordat în diverse moduri: clusterizare simplă sau dublă [13][14][19], compresie [30], histograme [30], detecția muchiilor [30][18], extinderea regiunilor [26][3][14][5], partitioarea grafurilor [10][27][29][30], transformarea watershed [15][30],



praguri adaptive [5], divizarea și unificarea [18][30], “Random Walker” [9], contururi ierarhice [30][28] și active [30].

Cercetări recente s-au concentrat pe metode de segmentare și cosegmentare antrenabile [30][22][20][4][16][7][23], folosind tehnici de învățare automata pentru a produce rezultate de o acuratețe ridicată, cu supraveghere slabă. Totuși, aceste metode nu reprezintă soluții pentru segmentări în timp real, deoarece costurile de execuție sunt mult prea mari pentru puterea de calcul a sistemelor hardware nespecializate, în special pentru laptopuri uzuale și pentru dispozitive mobile.

Deoarece costul computațional reprezintă un aspect critic în ce privește utilizarea algoritmilor, o altă tendință recentă este de a exploata paralelismul hardware în vederea maximizării vitezei. Această tendință a condus la dezvoltarea unor metode de segmentare/pre-segmentare iterative rapide utilizând GPU [1][26]Error! Reference source not found.Error! Reference source not found.. Metodele de pre-segmentare [12][19][18][1][2][17][11][5] creează micro-clustere locale, pe baza similarității locale, dar necesită ulterior un proces computațional complex de clusterizare. Dacă nu ținem cont de costul de clusterizare finală, acestea produc cele mai rapide rezultate locale dintre toate metodele de segmentare. Totuși, chiar și aceste metode rapide necesită procese iterative.

In multe aplicații de segmentare în timp real, o calitate acceptabilă la o viteză foarte mare este mai folositoare decât o calitate superioară la o viteză de procesare mult mai mică. Segmentarea rapidă este esențială pentru urmărirea și detecția obiectelor, navigarea și percepția pentru roboți autonomi, dispozitive asistive pentru nevăzători sau dispozitive medicale controlate automat.

Aceasta propunere de brevet introduce un sistem ce include o nouă metodă de segmentare, bazată pe extinderea regiunilor prin trasarea de raze. Este o metoda de segmentare imperfectă rară care etichetează numai o fracțiune din setul de intrare în vederea minimizării costului computational. Figura 2 prezintă ieșirea sistemului având ca intrare o imagine 2D, și modul în care se pot obține diferite niveluri de precizie prin diverse configurații ale gradului de risipire a razelor. Gradul de risipire este controlat parametric. Chiar cu un grad de risipire ridicat, segmentarea rezultată este suficient de calitativă pentru numeroase aplicații în timp real.

Metoda este proiectată astfel încât să utilizeze la maximum paralelismul hardware al placilor grafice actuale și să profite de pe urma unor optimizări în trasarea razelor („packet tracing” [6], DDA [21]). În acest brevet, metoda este exemplificată în 2D, dar poate fi implementată în oricătre dimensiuni.

Segmentarea imperfectă rară prin trasarea de raze aduce următoarele contribuții:



- extinderea de regiuni pe baza trasării de raze conduce la o segmentare imperfectă, prioritizând acoperirea rapidă a spațiului setului de date de intrare în detrimentul acoperirii tuturor punctelor dintr-o vecinătate locală
- un număr constant de treceri prin banda grafică, conducând la un timp de execuție care nu depinde de tipul imaginii, fără a afecta calitatea
- lățime de bandă scăzută datorită rarității razelor, care determină un număr mic de accese la memorie
- o complexitate de $O(n/tsize)$ unde n este dimensiunea setului de intrare iar $tsize$ este dimensiunia ferestrei pentru care este generat un punct germen de pornire a razelor (exemplu: 16x16). Segmentările cu cele mai bune rezultate, SLIC [2] și ReallyQuickShift [12] au complexități de $O(n)$ și $O(d^2n^2)$.

Segmentarea imperfectă rară prin trasarea de raze este sumar descrisă în Figura 4. Aceasta este o componentă cheie pentru proiectul Sound of Vision [32], unde este utilizată pentru segmentarea imaginilor de adâncime în timp real, pe plăci grafice uzuale.

Stadiul actual al dezvoltării în segmentarea imaginilor:

Segmentarea utilizând GPU este în general realizată prin metode iterative, unde un număr considerabil de iterații este necesar pentru obținerea etichetării în etapa finală. Metodele de pre-segmentare care utilizează GPU folosesc o strategie similară, conducând la supra-segmentare cu etichetare locală de calitate înaltă.

Majoritatea metodelor inițiale de segmentare pe GPU au fost realizate în scopul utilizării în medicină, unde accelerarea GPU a adus beneficii considerabile în manipularea seturilor de date tridimensionale foarte mari. Shenke și alții [26] au investigat oportunitatea oferită de hardware-ul paralel și au introdus o metodă de segmentare hibridă CPU-GPU, bazată pe extinderea regiunilor pornind de la puncte germen, prin operații de dilatare și eroziune. Hagan și alții [13] au utilizat un model LBM (Lattice Boltzmann Model) extins pentru a rezolva ecuația „level set”, într-o abordare iterativă care generează etichetări de calitate ridicată în detrimentul unui număr mare de iterații cu sincronizare CPU-GPU. Vineet și alții [29] au adaptat algoritmul “maxflow mincut” pentru CUDA, în care este utilizată metoda „tăierii grafului” pentru a parta un set de date într-o mulțime de sub-seturi disjuncte. Re-etichetarea grafului între numeroasele iterații de tăiere a grafului este realizată printr-o sincronizare intensiv computațională. Roberts și alții [25] folosesc un algoritm iterativ bazat pe “level set” cu o complexitate de $O(n^2 \log(n))$. Körbes și alții [15] au introdus un algoritm “watershed” paralel iterativ, în care o imagine este divizată în ferestre de dimensiune 16x16 și fiecare fereastră realizează o transformare watershed locală, pentru fiecare iterație a algoritmului. Collins și alții [8] au mapat problema cosegmentării pe operații de algebră liniară, care au fost realizate utilizând CUDA, oferind o soluție de cosegmentare de calitate înaltă la un cost computational scăzut. Ramirez și alții [24]



segmentat volume cu o adaptare pe GPU a GrabCut, un algoritm de flux proiectat pentru partităionarea imaginilor. Similar cu [29], algoritmul Push-Relabel este implementat în CUDA, presupunând costuri de sincronizare.

Investigații recente în ce privește segmentarea executată pe GPU se bazează pe metode antrenabile [30][22][20][4][16], în care diversi algoritmi de învățare automată supervizați slab sunt utilizați pentru învățarea și detecția informațiilor în seturile de date. Segmentarea este astfel realizată cu metode de învățare automată precum Support Vector Machines (SVM), Markov Random Fields (MRF), Conditional Random Fields (CRF) sau Fully Convolved Networks (FCN). Totuși, costul acestor metode este prea mare pentru segmentările în timp real.

Algoritmii de pre-segmentare rezolvă problema segmentării numai local, utilizând de obicei strategii de ascensiune a gradientului, unde punctele germen sunt mutate iterativ în vecinătăți locale, etichetând imaginile la nivel local, în clustere mici numite superpixeli. Algoritmii de pre-segmentare au cel mai înalt nivel de performanță în ce privește timpul de rulare. Datorită vitezei, algoritmii de pre-segmentare reprezintă candidați excelenți pentru metodele de prelucrare în timp real, deoarece pot fi combinați cu strategii ieftine de unificare a regiunilor. De aceea algoritmii de pre-segmentare sunt preferați în detrimentul algoritmilor compleți de segmentare în aplicații critice. Fulkerson și alții [11] au utilizat supra-segmentare conservativă a regiunilor mici pentru a produce super-pixeli de dimensiune variabilă. Levenshtein și alții [17] au introdus TurboPixels, o metodă în care super-pixelii sunt calculați cu fluxuri geometrice iar punctele germen sunt iterativ perturbate pentru a acoperi vecinătăți locale. Algoritmul are o complexitate de $O(n)$, unde n este dimensiunea setului de date, și se bazează pe o serie de operatori de dilatare. Fulkerson și alții [12] propun o alterare a algoritmului Quick Shift, compatibilă cu CUDA, în care un spațiu de cinci caracteristici este utilizat pentru a stabili legătura dintre pixeli și clustere. Implementarea are o complexitate de $O(d^2n^2)$, unde d este o constantă, dar în practică este foarte rapidă, deoarece nu este iterativă. Singurul dezavantaj al metodei este controlul slab asupra dimensiunii și gradului de compactare al super-pixelilor rezultați. Achanta și alții [1] au introdus o metodă simplă de clusterizare liniară iterativă (SLIC – simple linear iterative clustering) în super-pixeli, unind pixeli pe baza similarității într-o manieră iterativă, dar limitând spațiul de căutare la o regiune proporțională cu dimensiunea superpixelului. Complexitatea algoritmului este $O(n)$. Achanta și alții [2] au îmbunătățit metoda din [1] cu o variantă a algoritmului numită SLICO. Li și alții [18] au îmbunătățit de asemenea calitatea segmentării SLIC [1] prin utilizarea unei strategii iterative de divizare și unificare. În fiecare iterare, superpixelii sunt divizați pe baza unei hărți de muchii și sunt apoi unificați cu superpixelul adiacent cu cea mai mică distanță Bhattacharyya. Această metodă obține o calitate ridicată în detrimentul unui timp mai scăzut de rulare. Li și alții [19] folosesc clusterizare spectrală liniară pentru a îmbunătăți acuratețea segmentării SLIC, obținând un cost computațional foarte ridicat.

Dintre toate metodele de pre-segmentare discutate, cele mai potrivite pentru segmentare în timp real sunt ReallyQuickShift [12] și SLICO [2]. Ambele metode folosesc o strategie de clusterizare



bazată pe ascensiunea gradientului și oferă o calitate a segmentării rezonabilă pentru un timp de rulare foarte scăzut.

Invenția:

Segmentarea K-dimensională este o problemă de partitioanare în care un set S care conține n elemente K-dimensionale trebuie să fie împărțit în seturi disjuncte, pe baza unor proprietăți de similaritate locală sau globală între elemente. Această problemă este rezolvată prin căutarea sub-seturilor disjuncte în S și determinarea celei mai bune soluții.

Metodele de extindere a regiunilor sau de clusterizare determină această partitioanare prin încercarea iterativă de unire a elementelor din afara clusterelor, după cum este ilustrat în Figura 3. Metodele tradiționale precum k-means [14] explorează întregul set, producând un spațiu de căutare extrem de mare, care se explorează destul de greu. Metode de pre-segmentare prin extinderea regiunilor ca SLIC [2] limitează spațiu de căutare la o vecinătate foarte mică a clusterului, garantând o explorare rapidă a spațiului de căutare, dar neputând să detecteze segmente (regiuni) foarte mari.

Strategia propusă de inventia noastră combină avantajele celor două abordări: numărul mic de elemente explorate de abordarea SLIC și spațiu mare de căutare al metodelor tradiționale, ducând în același timp la o viteză de execuție foarte mare și la conexiuni de-a lungul întregului set. Metoda de segmentare rară imperfectă cu trasare de raze funcționează identic pe seturi de orice dimensiuni, dar pentru simplitate este ilustrată pe seturi bidimensionale.

Algoritmul de segmentare complet este ilustrat sumar în Figura 4: calculul fluxului, generarea punctelor german (a generatorilor), explorarea spațiului prin trasarea razelor și conectarea regiunilor parcuse.

Fluxul reprezintă rata de schimbare a setului de intrare. Poate fi un simplu gradient adaptiv pentru imagini color/în niveluri de gri și este extrem de ieftin de calculat pe GPU. Pentru imagini de adâncime (de exemplu, cele obținute de la dispozitivul de achiziție Sound of Vision) s-a utilizat un gradient adaptiv care ține cont de eroarea de estimare a senzorului de adâncime. Un exemplu de flux se poate observa în Figura 4.2.

Pozitionarea punctelor german este inițial generată printr-un şablon pseudo-aleator de-a lungul întregului set. De exemplu, pentru imagini 2D, oricare din secvențele Sobol, van der Corput sau Hammersley pot fi utilizate. După generarea pozițiilor inițiale, se utilizează o strategie bazată pe ascensiunea gradientului pentru distanțarea punctelor german de zonele cu flux ridicat, utilizând următorul algoritm, redat în pseudocod:

```

1: seedPos ← getPseudoRandomPosition()
2: iterations ← 0
3: flux ← getFlux(seedPos)
4: while flux > Threshold and iterations < MaxIterations
5:     seedPos ← seedPos + fluxDirection

```



```

6:           iterations ← iterations + 1
7: return seedPos

```

Un exemplu al distribuției rezultate a punctelor german poate fi observată în Figura 4.3, colorată cu o funcție de hash Jenkins aplicată peste indicii punctelor german.

După generarea pozițiilor punctelor german, din fiecare astfel de punct sunt trimise raze prin imagine în vederea acoperirii rapide a întregului spațiu de căutare. Razele au multiple cazuri de terminare, după cum se poate observa în Figura 5: întâlnirea unui pixel care a fost parcurs de o altă rază, întâlnirea unei zone de flux ridicat (o muchie) sau acumularea de flux.

Razele suportă de asemenea reflexii pe marginile imaginii sau în zone de flux ridicat (muchii), reprezentând exploratori eficienți chiar și pentru cazuri complicate. Razele numeroase sunt cu ușurință distribuite pe toate nucleele de procesare disponibile. Rezultatul razelor trasate dar neconectate se poate observa în Figura 4.4.

O structură arborescentă este creată peste punctele german, care leagă toate punctele de plecare ale întregului set de date. Inițial toate punctele german pornesc ca arbori separați. Cu fiecare conexiune între raze, numărul de arbori separați scade. În vederea minimizării înălțimii arborilor atunci când două raze se întâlnesc, numai punctele german sunt conectate. Deoarece sincronizarea datelor pe GPU poate fi implementată eficient numai prin operații atomice, trebuie stabilită o ierarhie atunci când două puncte german sunt conectate. Noi am utilizat indicele minim al punctelor care trebuie conectate. Următorul algoritm este utilizat pentru conectarea a două puncte german:

GetGreatestParent(seed)

```

1: seed ← initial seed
2: do seed ← getParent(seed)
3:   while seed not null
4: return seed

```

ConnectSeeds(seed1, seed2)

```

1: parent1 ← getGreatestParent(seed1)
2: parent2 ← getGreatestParent(seed2)
3: if parent1 < parent2
4:   atomicExchange(parent2.parent, parent1)
5: else
6:   atomicExchange(parent1.parent, parent2)

```

Fiecare rază menține un set de proprietăți legate de spațiul traversat, inclusiv valoarea medie a punctelor, varianța și valoarea ultimelor T puncte traversate. Proprietățile sunt salvate într-un buffer auxiliar. O conexiune potențială între puncte german are loc atunci când o rază întâlnește puncte traversate de altă rază. Conexiunea este realizată numai dacă există potrivire locală și globală între cele două puncte german. Conexiunea are loc numai dacă proprietățile celor două raze sunt similare. Următorul pseudocod descrie acest proces:



Initialization Pass:

1: initialize label matrix to empty
 2: initialize trace matrix to empty

Ray Tracing Pass (1 thread per each ray per seed):

```

1: ray ← the initial ray id
2: seed ← getSeed (ray)
3: properties ← initializeRayProperties()
4: iterations ← 0
5: pos ← seed.pos
6: while iterations < MaxIterations:
7:     flux ← readFlux (pos)
8:     if flux > MaxFlux
9:         end
10:    input ← readInput (pos)
11:    updateProperties(properties, input)
12:    if rayPropertiesDeviateFromCluster(properties)
13:        end
14:    scatterDir ← getScatteringBasedOnAccumFlux()
15:    id ← readLabel (pos)
16:    if id is empty
17:        writeLabel (pos, seed)
18:    else
19:        parentid ← getGreatestParent(seed)
20:        parentid2 ← getGreatestParent(id)
21:        if degenerateParents(id, seed, parentid, parentid2)
22:            end
23:        properties2 ← readProperties(pos)
24:        if properties1 similar properties2
25:            updateProperties(properties1)
26:            writeTraceProperties(pos, properties1)
27:            ConnectSeeds(seed, id)
28:        if ray.dir aligned to image axes
29:            pos ← pos + ray.dir + scatterDir
30:        else
31:            pos ← staircase tracing on (ray.dir + scatterDir)

```

Traversarea conservativă este utilizată dacă direcția unei raze nu se aliniază perfect cu axele imaginii, în vederea asigurării detecției de conexiuni chiar și în cazuri dificile, după cum se poate observa în Figura 6. În plus, devierea slabă a direcției este utilizată dacă raza acumulează suficient flux, în vederea ghidării razei departe de regiunile cu flux mare către cele cu flux mic, urmărind aceleași principii ca transformarea watershed. Reflectanța stocastică a razelor către regiuni de flux local mic împiedică razele să realizeze conexiuni riscante în regiuni de flux ridicat, după cum este ilustrat în Figura 6.

În final, după ce toate razele sunt trasate, ramâne o mică posibilitate ca două raze să se termine aproape una de celalaltă, dar nici una din ele să realizeze un caz de conexiune. Astfel, un pas în plus este necesar pentru a impune conectivitatea. Pasul final actualizează fiecare pixel la punctul german părinte final. Punctele german fără părinte, care acționează ca rădăcini,



structura arborescentă construită peste imaginie, reprezintă id-urile de segmentare unice. Pseudocodul pentru forțarea conectivității este urmatorul:

Enforce Connectivity Pass (per each pixel):

- 1: $pos \leftarrow pixel$
- 2: $seed \leftarrow readLabel(pos)$
- 3: $properties \leftarrow readProperties(pos)$
- 4: $flux \leftarrow readFlux(pos)$
- 5: **for** $pos2$ neighbor of pos
- 6: $seed2 \leftarrow readLabel(pos2)$
- 7: $properties2 \leftarrow readProperties(pos2)$
- 8: $flux2 \leftarrow readFlux(pos)$
- 9: **if** $properties$ similar $properties2$
- 10: **if** $max(flux, flux2) < MaxFlux$
- 11: **ConnectSeeds**($seed, seed2$)

Numărul de operații de acces al memoriei în această metodă este foarte mic. Trasarea pachetelor (“packet tracing”) poate fi utilizată pe raze, iar împachetarea per punct germen conduce la rezultate bune deoarece în mod uzual fiecare generator trimite raze comparabile ca lungime și cu conexiuni similare.

Trasarea razelor a fost îmbunătățită prin modificarea algoritmului clasic de rasterizare DDA și transformarea lui într-unul conservativ. Această îmbunătățire elimină un număr ne-necesar de operații de acces al memoriei. Utilizarea direcțiilor predefinite poate scădea de asemenea costul computațional de traversare a spațiului.

Segmentarea rară este suficientă pentru un număr mare de aplicații practice de segmentare, dar în anumite cazuri o segmentare completă este de dorit. Această etapă optională este prezentată în continuare.

După etichetarea rară a spațiului, id-urile unice de segmentare pot fi considerate ca o rețea rară peste imagine. Filtrarea este implementată prin conectarea pixelilor care nu au etichete, într-un proces iterativ, fiecare iterație având două etape. În prima etapă pixelii sunt conectați prin aceleași principii ca în pasul anterior, de conexiune a razelor. În a două etapă pixelii sunt conectați pe baza unei similarități în interiorul unei vecinătăți.

Pseudocodul pentru filtrarea exactă este următorul:

Exact Filtering (per each pixel):

- 1: $pos \leftarrow pixel$
- 2: **if** $readLabel(pos)$ not empty
- 3: **end**
- 4: $steps \leftarrow 0$
- 5: **for** $ray = 1, ray < NumRays, ray++$
- 6: $alive[ray] \leftarrow true$
- 7: $properties[ray] \leftarrow empty$
- 8: **for** $steps = 1, steps < MaxSteps, steps++$
- 9: **for** $ray = 1, ray < NumRays, ray++$
- 10: **if** not $alive[ray]$



```

11:           continue
12:           if ray.dir aligned to image axes
13:               rpos ← pos + steps * ray.dir
14:           else
15:               rpos ← staircase tracing on ray.dir
16:               flux ← readFlux(rpos)
17:               if flux > MaxFlux
18:                   alive[ray] ← false
19:                   continue
20:               input ← readInput(rpos)
21:               updateProperties(properties[ray], input)
22:               seed ← readLabel(rpos)
23:               if seed not empty
24:                   properties2 ← readProperties(rpos)
25:                   if properties[ray] similar properties2
26:                       writeLabel(pos, seed)
27:                   end
28:               else
29:                   alive[ray] ← false

```

A doua etapă de filtrare, bazată pe similaritate, este identică cu etapa de filtrare exactă cu excepția constrângerilor bazate pe potrivirea proprietăților. Procesul de filtrare este aplicat iterativ, însă în general este nevoie de un număr foarte mic de iterații (2 sau 3) pentru a eticheta întregul set de date.

Unificarea regiunilor este un alt proces optional, care poate conduce la îmbunătățiri calitative semnificative, după cum se poate observa în Figura 7. Unificarea este de asemenea un process iterativ ce conține mai multe etape. În prima etapă se pornește de la imaginea complet etichetată și fiecare punct german trimite raze scurte pentru a obține statistici despre etichetarea locală. Apoi, în etapa a doua se acumulează informații în părantele final al fiecărui punct german, utilizând operații atomice pentru a sincroniza scrierile. În a treia etapă se rulează o metodă per-pixel care compară toți vecinii potențiali dintr-un nucleu cu pixelul central. Dacă proprietățile se potrivesc dar etichetarea este diferită, atunci cele două etichete sunt unificate.

Atât filtrarea cât și unificarea regiunilor cresc calitatea etichetării, în timp ce costurile suplimentare conduc în continuare la tempi de procesare comparabili cu cei ai metodelor de ultimă oră de (pre)segmentare, după cum este ilustrat în Figura 9.

Evaluarea invenției în comparație cu metodele deja existente de segmentare:

Metodologia de evaluare a rezultatelor compară segmentarea imperfectă rară cu trasare de raze atât calitativ cât și din punct de vedere al vitezei cu cele mai rapide metode de segmentare pe GPU, cu ReallyQuickShift **Error! Reference source not found.** și SLICO **Error! Reference source not found..** În timp ce acestea sunt metode de pre-segmentare și necesită procesare suplimentară pentru producerea de segmentări complete, ele reprezintă singura categorie de metode comparabile în timp cu metoda prezentată. Din punctul de vedere al vitezei, segmentarea rară cu



trasare de raze are o complexitate de $O(n/tsize)$, fiind mult mai rapidă decât orice algoritm complet de segmentare pe GPU, cel mai rapid având complexitatea $O(n * \log n)$.

Rezultatele arată că metoda propusă are rezultate locale bune, după cum este prezentat în Figura 8, și rezultate de viteză excepționale, după cum este prezentat în Figura 9. Metoda propusă obține segmentare completă în mai puțin timp decât au nevoie metodele actuale să finalizeze segmentările locale.

Figura 8 prezintă rezultatele calitative ale segmentării imperfecte prin trasarea de raze, unde diferite imagini sunt segmentate și comparate cu segmentări consacrate. Testarea calitativă include atât varianta rară (în care se trasează numai razele) cât și filtrată (când se etichetează tot setul de date) a algoritmului prezentat, și ferestre de dimensiuni diferite care afectează direct numărul de puncte germen. Astfel, a patra coloană din Figura 8 necesită mărire, deoarece rezultatele sunt obținute cu o valoare de raritate/risipire foarte mică.

Figura 9 prezintă rezultatele de viteză, unde segmentarea imperfectă bazată pe trasarea de raze are în mod consistent timpi de rulare de aproximativ 5 ori mai mari decât SLIC și de aproximativ 20 de ori mai mari decât ReallyQuickShift. Figura ilustrează faptul că metoda propusă obține timpi de rulare aproximativ egali cu SLIC chiar și utilizând pasul optional de filtrare. Din Figura 9 se poate observa de asemenea că metoda prezentată are o degradare sub-liniară a performanței în ce privește numărul de pixeli, fiind ideală pentru seturi de date mari și foarte mari.

Segmentarea imperfectă bazată pe trasarea de raze este o metodă flexibilă, unde compromisul între calitate și viteză este controlat printr-un singur parametru de risipire. Aceasta poate fi folosită chiar ca o metodă de pre-segmentare, după cum este ilustrat în Figura 10. Pre-segmentarea rezultată conservă o mare parte din structura locală dar descoperă complet și unifică segmente foarte mari, diferențiindu-se față de metodele existente de pre-segmentare care partionează astfel de segmente.

O limitare a abordării noastre este dependența de calculul fluxului, care poate conține mulți parametri, în special dacă se utilizează o soluție neadaptivă. Explorarea rară a spațiului conduce la posibile erori cauzate de zgromot. O altă limitare este faptul că metoda a fost proiectată pentru utilizare în cazuri uzuale (urmărirea video, detecția de caracteristici importante, utilizare în timp real) și nu reprezintă alegerea perfectă pentru cazuri de segmentare specializată unde calitatea este mult mai importantă decât viteza (exemplu: OCR).

Segmentarea imperfectă rară bazată cu trasare de raze este deja utilizată într-o aplicație practică în cadrul sistemului Sound of Vision [32], unde segmentează cadre video de adâncime în rimp real, utilizând un detector de flux adaptiv exponential. Datorită costului computațional foarte scăzut al segmentării, aceasta poate fi folosită într-un flux de lucru complex, împreună cu alte module ca detecția caracteristicilor, estimarea normalelor, stabilizarea și filtrarea semnalelor, analiza pentru determinarea spațiului navigabil, etichetarea obiectelor și codificarea elementelor mediului în semnale audio și haptice.

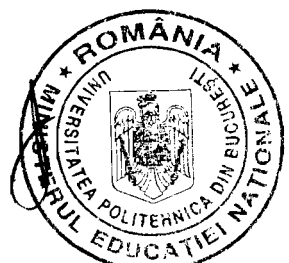


Referinte:

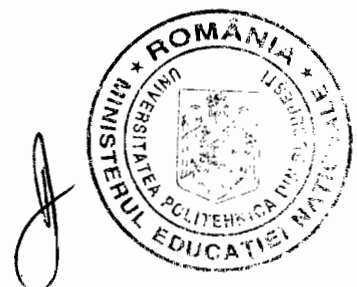
- [1] A. Abramov, T. Kulyvicius, F. Wörgötter, and B. Dellen, Real-time image segmentation on a GPU, Facing the multicore-challenge, pp 131-142, 2010.
- [2] R. Achanta, A. Shaji, K. Smith, A. Lucchi, P. Fua, and S. Süsstrunk, SLIC Superpixels, EPFL Technical Report no. 149300, 2010.
- [3] R. Achanta, A. Shaji, K. Smith, A. Lucchi, P. Fua, and S. Süsstrunk, SLIC Superpixels Compared to State-of-the-art Superpixel Methods, IEEE Transactions on Pattern Analysis and Machine Intelligence, vol. 34, num. 11, p. 2274 - 2282, 2012.
- [4] D. Arthur, S. Vassilvitskii, k-means++ : The advantages of careful seeding, Proceedings of SODA '07 Proceedings of the eighteenth annual ACM-SIAM symposium on Discrete algorithms, pp. 1027-1035, 2007.
- [5] G. Bertasius, L. Torresani, S. Yu, X. Stella and J. Shi, Convolutional Random Walk Networks for Semantic Image Segmentation, The IEEE Conference on Computer Vision and Pattern Recognition (CVPR), 2017.
- [6] Y. Beevi and S. Natarajan, An efficient Video Segmentation Algorithm with Real time Adaptive Threshold Technique, 2009.
- [7] S. Boulos, D. Edwards, J. Lacewell, J. Kniss, J. Kautz, P. Shirley, I. Wald, Packet-based whitted and distribution ray tracing, Proceedings of Graphics Interface, 2007, pp 177-184
- [8] R. Cinbis, J. Verbeek, and C. Schmid. Multi-fold mil training for weakly supervised object localization. Conference on Computer Vision and Pattern Recognition, 2014.
- [9] M. Collins, J. Xu, L. Grady and V Singh, Random Walks based Multi-Image Segmentation: Quasiconvexity Results and GPU-based Solutions, Proceedings of the 2012 IEEE Conference on Computer Vision and Pattern Recognition, pp 1656-1663, 2012
- [10] D. Comaniciu, P. Meer, Mean Shift: A Robust Approach Toward Feature Space Analysis, IEEE Transactions on Pattern Analysis and Machine Intelligence, vol 24, iss 5, pp 603-619, 2002
- [11] P. Felzenszwalb, D. Huttenlocher, Efficient Graph-Based Image Segmentation, Journal of Computer Vision, vol. 59, iss. 2, pp 167-181, 2004
- [12] B. Fulkerson, A. Vedaldi and S. Soatto, Class Segmentation and Object Localization with Superpixel Neighborhoods, IEEE 12th International Conference on Computer Vision, 2009.
- [13] B. Fulkerson and S. Soatto, Really quick shift: Image segmentation on a GPU, Proceeding ECCV'10 Proceedings of the 11th European conference on Trends and Topics in Computer Vision, pp 350-358, 2010.



- [14] A. Hagan and Y. Zhao, Parallel 3D Image Segmentation of Large Data Sets on a GPU Cluster, International Symposium on Visual Computing, pp 960-969, 2009.
- [15] T. Kanunogo, D. Mount, N. Netanyahu, C. Piatko, R. Silverman, A. Wu, An Efficient k-Means Clustering Algorithm : Analysis and Implementation, IEEE Transactions on Pattern Analysis and Machine Intelligence, vol. 24, no. 7, 2002.
- [16] A. Körbes, G. Vitor, R. Lotufo and J. Ferreira, Analysis of a step-based watershed algorithm using CUDA, International Journal of Natural Computing Research, 2010.
- [17] C. Lea, M. Flynn, R. Vidal, A. Reiter, G. Hager, Temporal Convolutional Networks for Action Segmentation and Detection, The IEEE Conference on Computer Vision and Pattern Recognition (CVPR), 2017.
- [18] A. Levinstein, A. Stere, K. N. Kutulakos, D. J. Fleet, S. J. Dickinson and K. Siddiqi, TurboPixels: Fast superpixels using geometric flows, Transactions on Pattern Analysis and Machine Intelligence, pp. 2290–2297, 2009.
- [19] L. Li, J. Yao, J. Tu, X. Lu, K. Li, and Y. Liu, Edge-Based Split-and-Merge Superpixel Segmentation, IEEE International Conference on Information and Automation, 2015
- [20] Z. Li, J. Chen, Superpixel Segmentation using Linear Spectral Clustering, IEEE Conference on Computer Vision and Pattern Recognition, 2015
- [21] J. Long, E. Shelhamer, T. Darrell, Fully Convolutional Networks for Semantic Segmentation, Computer Vision and Pattern Recognition, 2015.
- [22] M. McGuire, M. Mara, Efficient GPU Screen-Space Ray Tracing, Journal of Computer Graphics Techniques, Efficient GPU Screen-Space Ray Tracing, Vol. 3, No. 4, 2014
- [23] A. Mustafa, and A. Hilton, Semantically Coherent Co-Segmentation and Reconstruction of Dynamic Scenes, The IEEE Conference on Computer Vision and Pattern Recognition (CVPR), 2017.
- [24] S. Paris, Edge-preserving Smoothing and Mean-shift Segmentation of Video Streams, Proceeding ECCV '08 Proceedings of the 10th European Conference on Computer Vision: Part II, pp 460-473, 2008.
- [25] E. Ramírez, P. Temoche, R. Carmona, A volume segmentation approach based on GrabCut, CLEI Electronic journal, vol. 16, 2013
- [26] M. Roberts, J. Packer, M. Sousa and J. Mitchell, A Work-Efficient GPU Algorithm for Level Set Segmentation, High Performance Graphics, 2010.



- [27] S. Schenke, B. Wünsche, J. Denzler, GPU Based Volume Segmentation, In Proc. of IVCNZ '05, 2005.
- [28] J. Shi and J. Malik, Normalized Cuts, IEEE Transactions on Pattern Analysis and Machine Intelligence, vol. 22, no. 8, 2000.
- [29] P. Soille, Constrained Connectivity for Hierarchical Image Partitioning and Simplification, IEEE transactions on pattern analysis and machine intelligence, vol. 30, no. 7, 2008.
- [30] V. Vineet and P. Narayanan, CUDA Cuts: Fast Graph Cuts on the GPU, 2008.
- [31] H. Zhu, F. Meng, J. Cai and S. Lu, Beyond pixels: A comprehensive survey from bottom-up to semantic image segmentation and cosegmentation, Journal of Visual Communication and Image Representation, 34, pp 12-27, 2016
- [32] <https://soundofvision.net/>



REVENDICARI

Se revendică sistemul ce conține metoda de segmentare cu trasare de raze pe placa grafică, în sensul creșterii performanței operației de segmentare a imaginilor (și a seturilor de date multi-dimensionale), ce constă din următoarele operații executate în mod repetat:

- Calcularea unui flux adaptiv peste setul de date de intrare, care descrie rata de schimbare a unui element relativ la vecinătatea aceluia element în setul inițial.
- Construcția de generatori de sub-seturi, numiți și puncte germen de segmentare, într-un mod pseudo-aleator folosind secvențe de tipul Sobol, Hammersly și Van der Corput sau distribuții Poisson. După construcție, generatorii sunt mutați iterativ departe de zonele de flux mare, pentru a maximiza şansele de generare de sub-seturi din zone cu flux scăzut, adică zone în care similaritatea dintre vecini este mare, maximizând șansa lor de a fi în același sub-set de segmentare.
- Trasarea de raze multiple plecând de la generatorii de sub-seturi. Această trasare garantează o acoperire eficientă a întregului set de date, dar cu un număr foarte mic de eșantioane, minimizând costurile explorării spațiului de căutare. Trasarea este făcută cu rasterizare conservativă bazată pe algoritmul DDA modificat.
- Conectarea generatorilor de sub-seturi în momentul în care razele trasate anterior se intersectează. Conectarea se face doar în condiții de similaritate între razele ce se intersectează. Astfel punctele germen conectate prin raze sunt unite, rezultând în final doar un set de generatori unici ce partitionează setul de date inițial în sub-seturi care nu se suprapun unele cu celelalte.
- Extinderea opțională a sub-seturilor generate pentru a acoperi complet setul de date inițial, utilizând un proces iterativ de filtrare.
- Unirea opțională a sub-seturilor generate, folosind un proces iterativ de calcul de statistici și unificare pe baza statisticilor.



DESENE EXPLICATIVE

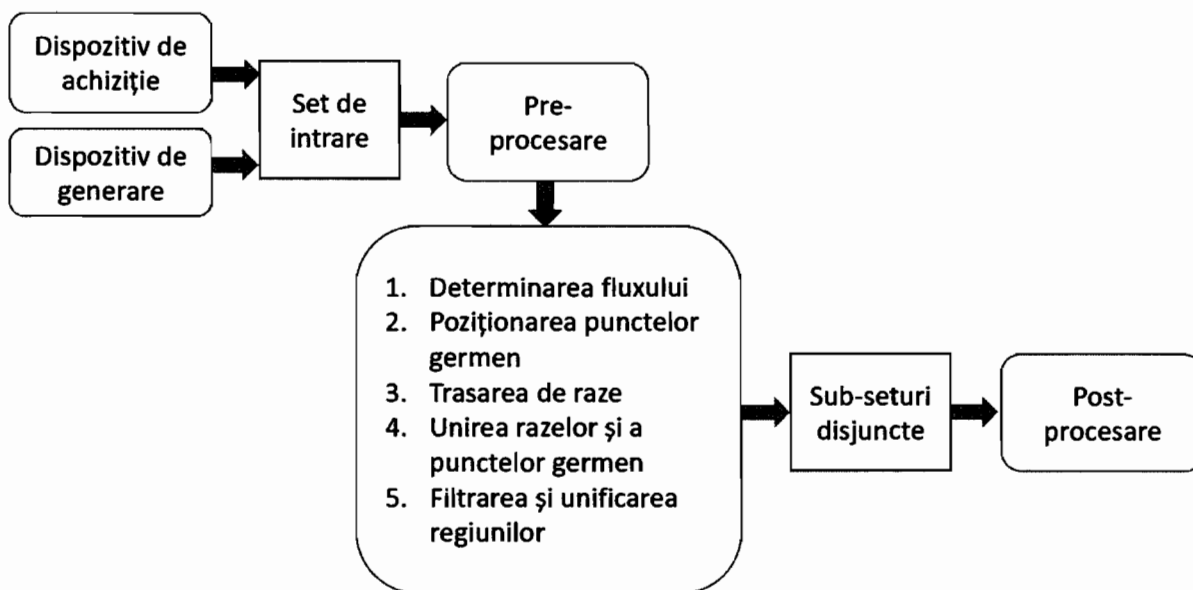


Figura 1. Schema modului de funcționare a sistemului. Setul de intrare este produs fie de un dispozitiv de achiziție (exemplu: camera prototipului Sound of Vision, sau un dispozitiv CT/RMN) fie de o metodă de generare de date (exemplu: prin calcule științifice). Un modul de pre-procesare prelucrează datele înainte de segmentare (de exemplu, pentru sistemul Sound of Vision, modulul de pre-procesare determină un nor de puncte pornind de la o imagine de adâncime și calculează o hartă de normale). Urmează segmentarea cu trasare de raze, care scoate la ieșire sub-seturi disjuncte. Post-procesarea poate fi orice modul care utilizează sub-seturile disjuncte, pentru identificarea și urmărirea de obiecte (exemplu: în sistemul Sound of Vision modulul de post-procesare identifică obiecte de interes în mediu, cum ar fi podeaua, pereteii, tavanul, obstacolele, scările și le interpretează în semnale audio și haptice)



Figura 2. Segmentarea imperfectă rară cu trasarea de raze, cu diferite niveluri de precizie prin diverse configurații ale gradului de risipire a razelor

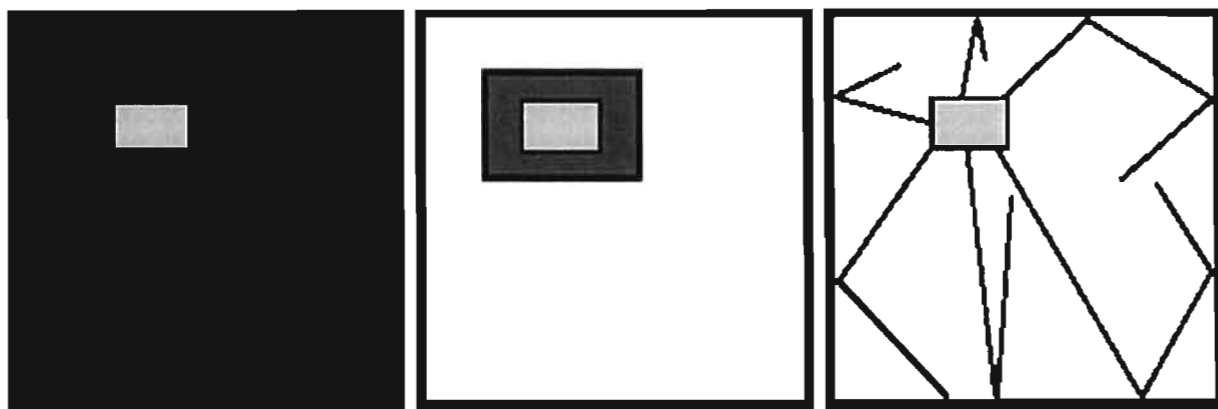


Figura 3. Strategii de explorare a spațiului în 2D. Pixelii colorați în gri deschis reprezintă clusterul curent și pixelii colorați în gri închis reprezintă spațiul de căutare pentru potențiale elemente noi ale clusterului. Strategiile tradiționale (k-means, în stânga) caută întreaga imagine. Metodele bazate pe superpixeli (în centru) caută numai într-o vecinătate mică. Segmentarea cu trasare de raze (dreapta) caută întreaga imagine, dar cu foarte puține eșantioane, concentrându-se pe similaritate globală în detrimentul similarității locale

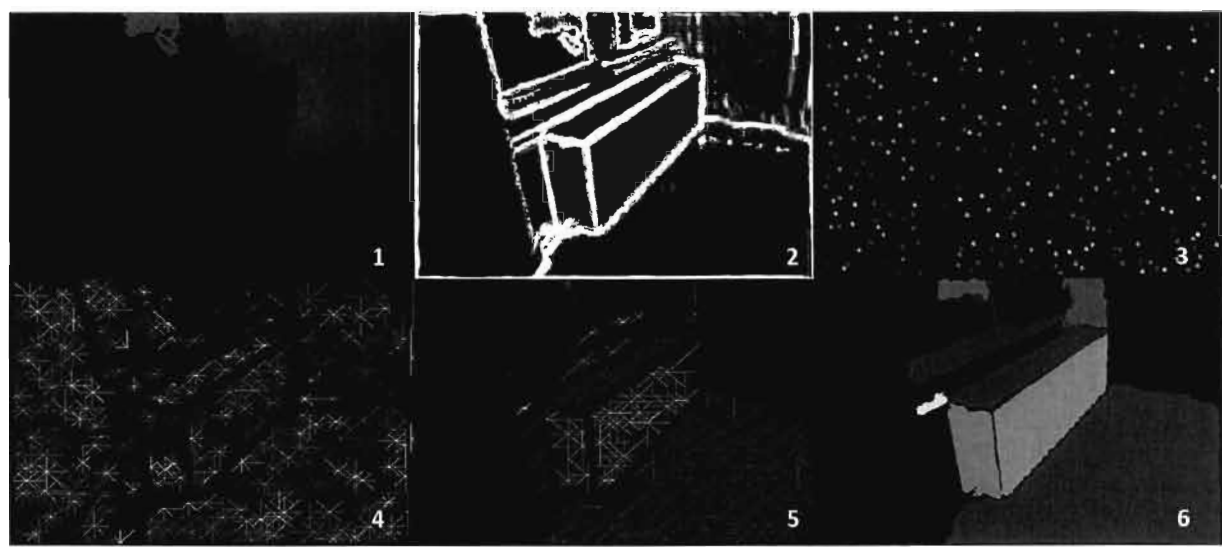


Figura 4. Etapele segmentării cu trasare de raze sunt ilustrate aici pe o hartă de adâncime. Imaginea de intrare este prezentată în 1. Fluxul (rata de schimbare a intrării) calculată pe imaginea de adâncime este ilustrată în 2. Punctele germen sunt prezentate (exagerat) în 3. Rețeaua creată pentru fiecare generator este ilustrată în 4. În 5 rețelele pentru fiecare punct germen sunt unite în rețele conectate. În 6 elementele neetichetate sunt determinate prin filtrare optională și prin unificarea regiunilor.

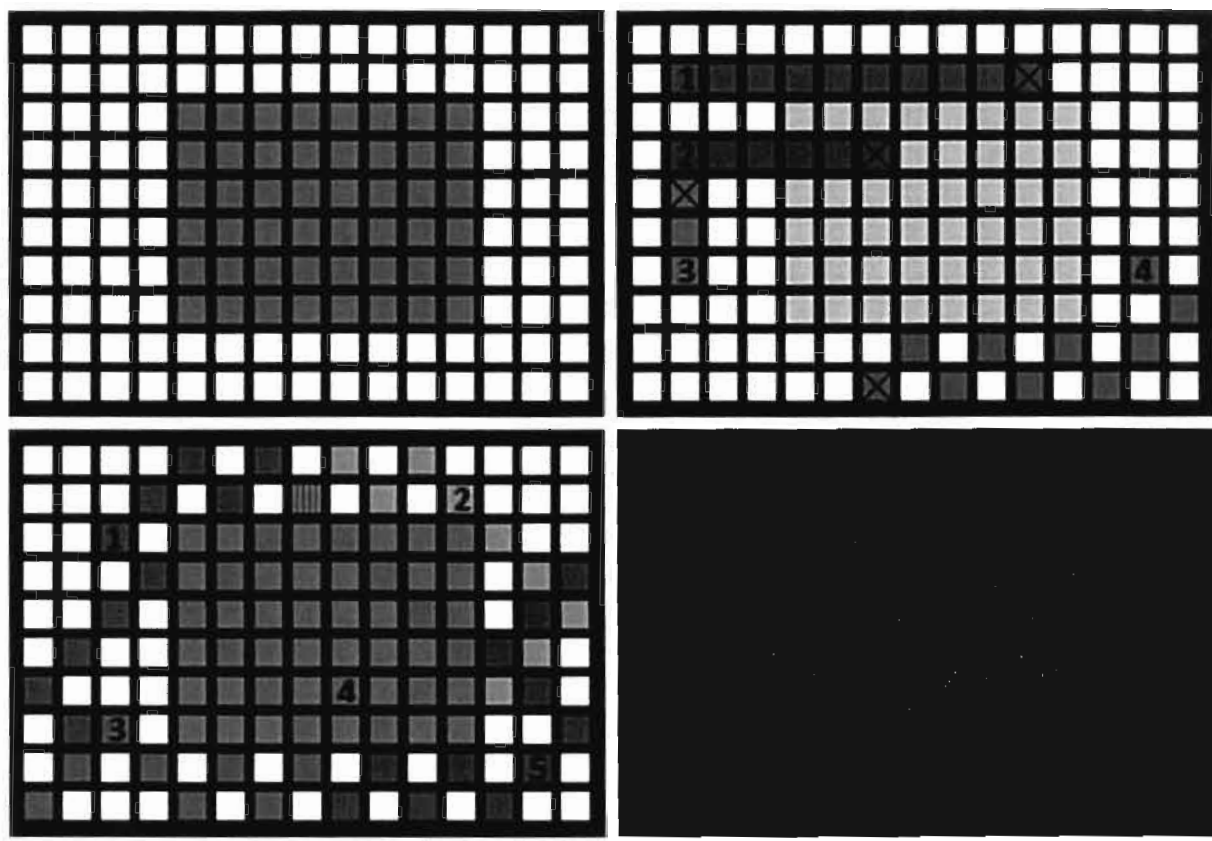


Figura 5. Imaginea din stânga sus prezintă imaginea de intrare și pixelii, cu un obiect în mijloc. Imaginea din stânga jos ilustrează rezultatul aplicării algoritmului pe imaginea de intrare (2 raze pentru fiecare punct germen, pentru simplitate). Imaginea din dreapta jos arată rezultatul segmentării rare pe o imagine de rezoluție mare. Imaginea din dreapta sus prezintă diferite scenarii de trasare a razelor pe o imagine cu flux scăzut: raza 1 și 4 se termină după un număr maxim de pași (10 în acest caz), raza 2 se termină din cauza fluxului acumulat iar raza 3 se termină la întâlnirea unei alte raze.



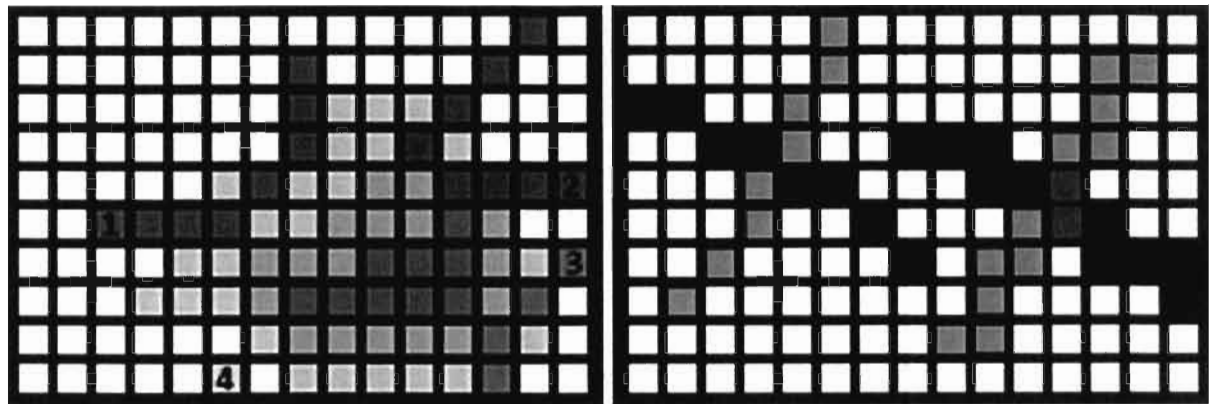


Figura 6. Imaginea din stânga ilustrează un flux de densitate variabilă, unde diverse raze suferă un proces de împrăștiere, în funcție de puterea fluxului. Acest proces este utilizat pentru ghidarea razelor către regiuni de flux mare. Imaginea din dreapta ilustrează diferența dintre utilizarea unei rasterizări neoconservative sau conservative pentru trasarea razelor. Rasterizarea neconservativă a razelor poate pierde unele cazuri de contact

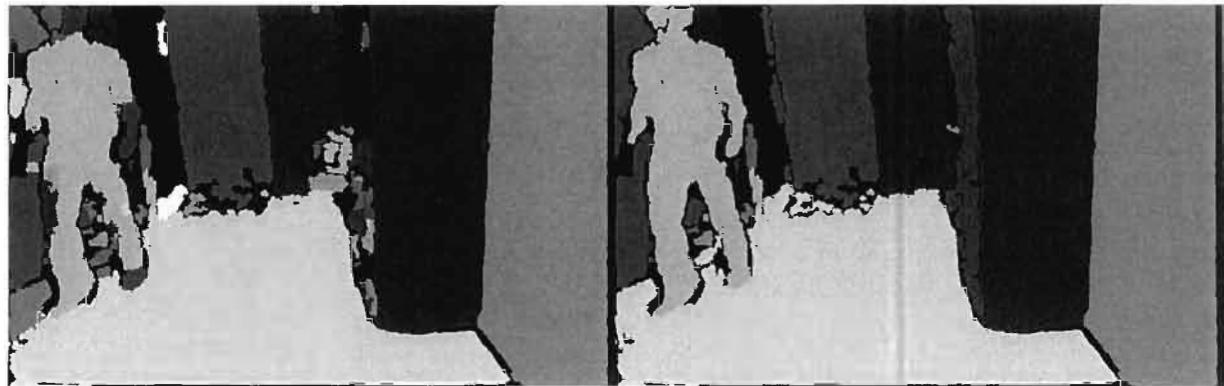


Figura 7. Unificarea regiunilor este utilizată pentru combinarea regiunilor similare care nu au putut fi unite din cauza variațiilor mare de flux. Acest pas este optional, dar îmbunătățește calitatea segmentării



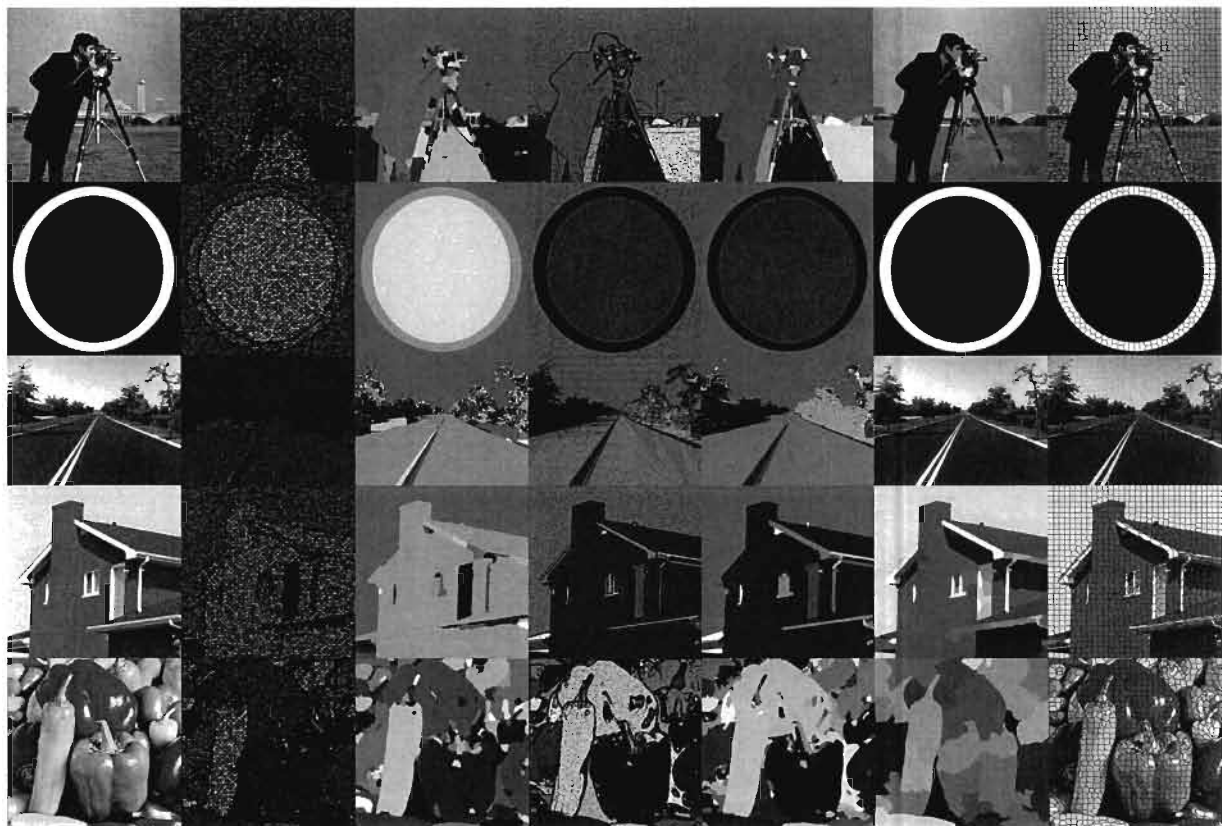


Figura 8. Rezultate calitative. Prima coloană prezintă imaginea de test. A doua și a treia coloană prezintă segmentarea cu trasare de raze cu cate un punct german pentru fiecare fereastră de 16×16 pixeli (rară și filtrată). A patra și a cincea coloană prezintă segmentarea cu trasare de raze cu câte un punct german pentru fiecare fereastră de 4×4 pixeli. A șasea coloană prezintă segmentarea obținută cu ReallyQuickShift [12]. A șaptea coloană prezintă pre-segmentarea în superpixeli obținută cu SLIC [2]. Segmentarea propusă prezintă calitate bazată pe percepție similară cu metodele de ultimă oră. În plus, algoritmul propus scoate la ieșire segmentări complete, în timp ce atât SLIC cât și ReallyQuickShift necesită unificări adiționale din cauza strategiei de supra-segmentare.

| size | flux | net (*) | opt. filter (*) | opt. merging (*) | FULL (*) | SPARSE (*) | net (**) | opt. filter (**) | opt. merging (**) | FULL (**) | SPARSE (**) | STAR SLIC (***) | STAR SLIC (****) | STAR ReallyQuickShift |
|------|---------|---------|-----------------|------------------|----------|------------|----------|------------------|-------------------|-----------|-------------|-----------------|------------------|-----------------------|
| 256 | 0.182 | 0.523 | 0.505 | 0.803 | 2.013 | 0.705 | 0.172 | 4.682 | 2.323 | 7.359 | 0.354 | 2.183 | 5.001 | 5.075 |
| 512 | 0.659 | 1.953 | 1.853 | 2.415 | 6.882 | 2.614 | 0.988 | 4.772 | 1.785 | 8.204 | 1.647 | 5.135 | 20.175 | 21.788 |
| 758 | 0.909 | 3.551 | 5.531 | 3.689 | 13.68 | 4.46 | 1.293 | 10.741 | 2.693 | 15.636 | 2.202 | 13.38 | 36.159 | 62.422 |
| 1024 | 1.677 | 7.519 | 4.854 | 5.677 | 19.727 | 9.196 | 2.329 | 11.932 | 4.153 | 20.091 | 4.006 | 18.876 | 62.148 | 123.643 |
| 1536 | 3.731 | 17.102 | 10.752 | 12.523 | 44.107 | 20.833 | 4.887 | 26.001 | 9.023 | 43.642 | 8.618 | 53.188 | 123.768 | 307.163 |
| 2048 | 6.583 | 31.083 | 18.501 | 22.166 | 78.333 | 37.666 | 8.215 | 46.027 | 15.756 | 76.581 | 14.798 | 71.998 | 196.794 | 524.439 |
| 3072 | 15.001 | 73.141 | 41.004 | 49.809 | 178.955 | 88.142 | 20.777 | 120.555 | 35.111 | 191.444 | 35.778 | 203.093 | 481.791 | 1272.256 |
| 4096 | 26.375 | 134.754 | 68.761 | 87.251 | 317.141 | 161.129 | 37.115 | 215.502 | 62.437 | 341.479 | 63.49 | 792.329 | 770.729 | 2055.837 |
| 6144 | 59.714 | 307.857 | 164.714 | 193.002 | 725.287 | 367.571 | 85.723 | 486.909 | 140.361 | 772.709 | 145.437 | 762.215 | 1842.969 | 3673.915 |
| 8192 | 106.051 | 437.751 | 416.503 | 341.875 | 1302.18 | 543.802 | 135.547 | 897.222 | 267.256 | 1405.976 | 241.498 | 1151.41 | 2990.072 | 6941.628 |

measurements in milliseconds

(*) very dense sparse net (one seed per 4x4 tile)

(**) normal density sparse net (one seed per 16x16 tile)

(***) SLIC without connectivity (****) SLIC with connectivity

Figura 9. Rezultate de viteză. Această imagine prezintă comparația în ce privește viteza (în milisecunde) pe imagini de dimensiune *size* x *size*. Coloanele evidențiate prezintă timpul de execuție total pentru segmentarea imperfectă rară cu trasare de raze cu un punct german pentru fiecare 4x4 pixeli (*) și cu un punct german pentru fiecare 16x16 pixeli (**). Ambii timpi sunt net superiori rezultatelor celei mai rapide metode (STAR). Este de menționat faptul că paralelismul crescut al algoritmului prezentat conduce la o viteză de execuție care se degradează sub-liniar cu numărul de puncte german. Toate măsurătorile au fost realizate pe o placă video NVIDIA GTX 960M.



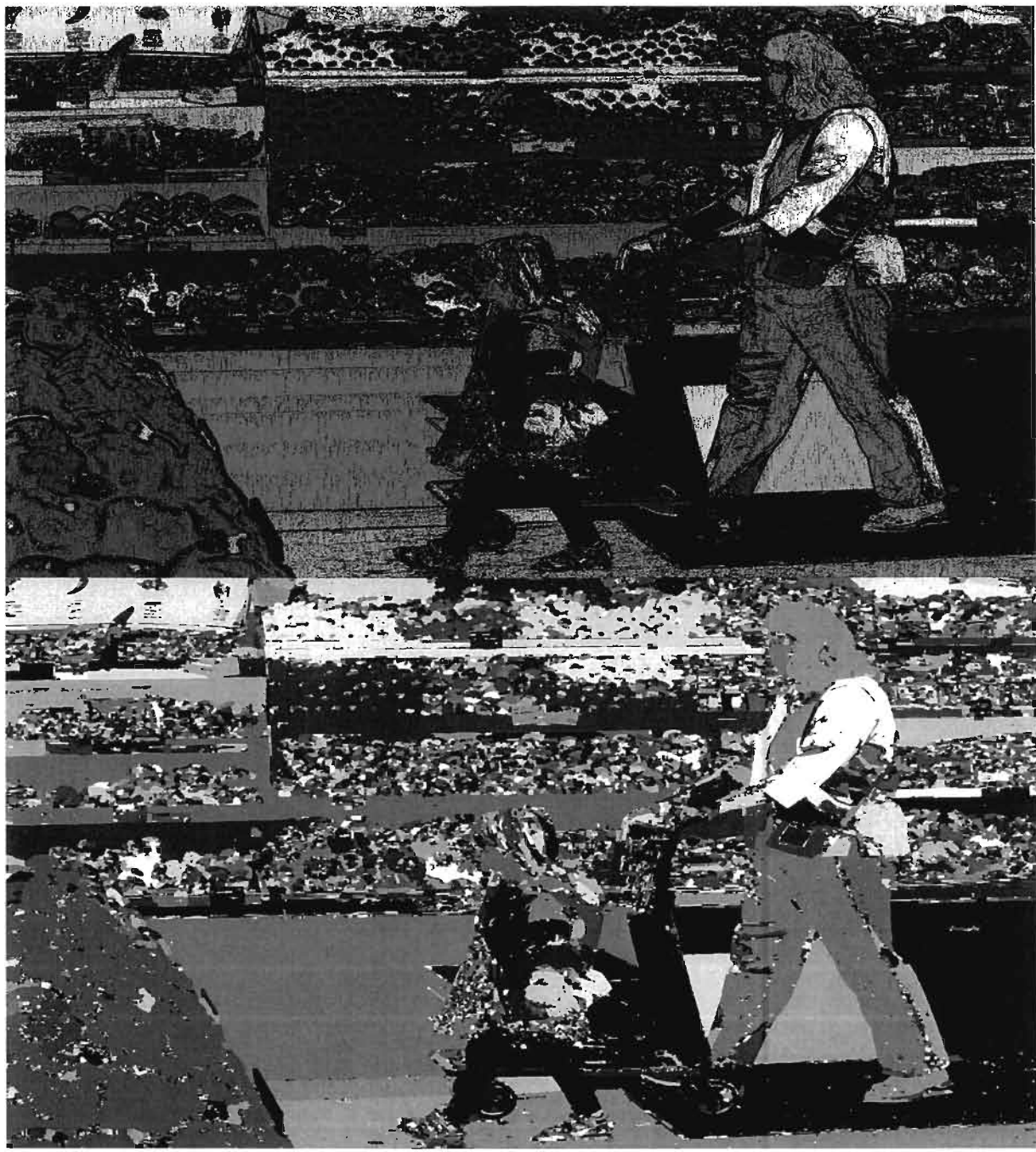


Figura 10. Segmentarea rară cu trasare de raze poate fi utilizată ca un pre-segmentator pur. Imaginea de sus prezintă o segmentare rară cu multe puncte germen, în timp ce imaginea de jos prezintă rezultatele filtrate. Imaginea de jos combină în același timp segmente mari și multe segmente de dimensiunea unui super-pixel. O altă metodă de pre-segmentare ar fi segmentat și regiunile mari în superpixeli

DESCRIEREA INVENTIEI

SISTEM PENTRU SEGMENTAREA IMAGINILOR VIDEO IN TIMP REAL, BAZAT PE TRASARE DE RAZE

Sistemul propus (inventia) are la bază un algoritm original de segmentare (partitionare) a câmpurilor K-dimensionale (exemplu: imagini bidimensionale), care asigura o viteza la executie de aproape 5 ori mai mare decât cea realizata de sistemele existente, după cum se poate observa în Figura 9. Această performanță este obținută prin redefinirea problemei de partiționare ca o problemă de trasare de raze utilizând unitatea de procesare grafică (GPU: Graphical Processing Unit) a calculatorului.

Algoritmul a fost dezvoltat pentru Sound of Vision [32], un sistem asistiv pentru nevăzători care scaneză mediul înconjurător prin camere video, identifică elementele de interes din imaginile obținute și emite semnale audio și haptice care permit utilizatorului să percepă mediul înconjurător, ajutându-l să navigheze în medii necunoscute. Cu toate că în sistemul Sound of Vision algoritmul de segmentare partiționează imagini bidimensionale, modelul său matematic poate fi folosit pentru partiționarea de matrici K-dimensionale. Figura 1 prezintă modul de funcționare a sistemului, care obține date de intrare de la un dispozitiv de achiziție sau de la un generator de date (de exemplu, prin calcule științifice). Un modul de pre-procesare prelucrează datele înainte de segmentare (de exemplu, pentru sistemul Sound of Vision, modulul de pre-procesare determină un nor de puncte pornind de la o imagine de adâncime și calculează o hartă de normale). Urmează segmentarea cu trasare de raze, care calculează regiuni continue disjuncte. Post-procesarea poate fi orice modul care utilizează regiunile disjuncte, pentru identificarea și urmărirea de obiecte (exemplu: în sistemul Sound of Vision modulul de post-procesare identifică obiecte de interes în mediu, cum ar fi podeaua, pereteii, tavanul, obstacolele, scările și le interpretează în semnale audio și haptice).

Inventia poate fi aplicată în domeniul informatic medical (detectare automată de tumori din scanări CT/ RMN, sisteme asistive), roboți industriali (programele de decizie ale roboților autonomi industriali și a dronelor folosesc segmentare), industria automobilelor (segmentarea este folosită de mașini cu conducere automată pentru percepția elementelor de trafic), securitate (urmărirea automată pe camere de securitate folosește segmentare, detecția automată a elementelor de interes folosește segmentare), etc.

Deoarece segmentarea reprezintă un pas critic într-un număr mare de probleme, acest subiect este intens cercetat și abordat în diverse moduri: clusterizare simplă sau dublă [13][14][19], compresie [30], histograme [30], detecția muchiilor [30][18], extinderea regiunilor [26][3][14][5], partiționarea grafurilor [10][27][29][30], transformarea watershed [15][30],

praguri adaptive [5], divizarea și unificarea [18][30], “Random Walker” [8], contururi ierarhice [30][28] și active [30].

Cercetări recente s-au concentrat pe metode de segmentare și cosegmentare antrenabile [30][22][20][4][16][7][23], folosind tehnici de învățare automata pentru a produce rezultate de o acuratețe ridicată, cu supraveghere slabă. Totuși, aceste metode nu reprezintă soluții pentru segmentări în timp real, deoarece costurile de execuție sunt mult prea mari pentru puterea de calcul a sistemelor hardware nespecializate, în special pentru laptopuri uzuale și pentru dispozitive mobile.

Deoarece costul computațional reprezintă un aspect critic în ce privește utilizarea algoritmilor, o altă tendință recentă este de a exploata paralelismul hardware în vederea maximizării vitezei. Această tendință a condus la dezvoltarea unor metode de segmentare/pre-segmentare iterative rapide utilizând GPU [31][26]. Metodele de pre-segmentare [12][19][18][1][2][17][11][5] creează micro-clustere locale, pe baza similarității locale, dar necesită ulterior un proces computațional complex de clusterizare. Dacă nu ținem cont de costul de clusterizare finală, acestea produc cele mai rapide rezultate locale dintre toate metodele de segmentare. Totuși, chiar și aceste metode rapide necesită procese iterative.

In multe aplicații de segmentare în timp real, o calitate acceptabilă la o viteză foarte mare este mai folositoare decât o calitate superioară la o viteză de procesare mult mai mică. Segmentarea rapidă este esențială pentru urmărirea și detecția obiectelor, navigarea și percepția pentru roboți autonomi, dispozitive asistive pentru nevăzători sau dispozitive medicale controlate automat.

Aceasta propunere de brevet introduce un sistem ce include o nouă metodă de segmentare, bazată pe extinderea regiunilor prin trasarea de raze. Este o metoda de segmentare rară care etichetează numai o fracțiune din matricea de intrare în vederea minimizării costului computational. Figura 2 prezintă ieșirea sistemului având ca intrare o imagine 2D, și modul în care se pot obține diferite niveluri de precizie prin diverse configurații ale gradului de risipire a razelor. Gradul de risipire este controlat parametric. Chiar cu un grad de risipire ridicat, segmentarea rezultată este suficient de calitativă pentru numeroase aplicații în timp real.

Metoda este proiectată astfel încât să permită procesare în paralel pe un număr mare de procesoare (spre exemplu, paralelismul hardware al plăcilor grafice actuale) și să profite de pe urma unor optimizări în trasarea razelor („packet tracing” [6], Digital Differential Analyzer - DDA [21]).

În acest brevet, metoda este exemplificată în 2D, dar poate fi implementată în oricătre dimensiuni.

Segmentarea rară prin trasarea de raze aduce următoarele contribuții:

- extinderea de regiuni pe baza trasării de raze conduce la o segmentare cu acoperirea rapidă a spațiului setului de date de intrare (matricii K-dimensionale) în detrimentul acoperirii tuturor punctelor dintr-o vecinătate locală
- un număr constant de treceri prin banda grafică, conducând la un timp de execuție care nu depinde de tipul imaginii, fără a afecta calitatea
- lățime de bandă scăzută datorită rarității razelor, care determină un număr mic de accese la memorie
- o complexitate de $O(n/tsize)$ unde n este dimensiunea setului de intrare iar $tsize$ este dimensiunile ferestrei (sub-regiunii) pentru care este generat un punct germen de pornire a razelor (exemplu: 16x16). Segmentările cu cele mai bune rezultate, SLIC [2] și ReallyQuickShift [12] au complexități de $O(n)$ și $O(d^*n^2)$.

Segmentarea rară prin trasarea de raze este sumar descrisă în Figura 4.

Aceasta este o componentă cheie pentru proiectul Sound of Vision [32, 33], unde este utilizată pentru segmentarea imaginilor de adâncime în timp real, pe plăci grafice uzuale.

Stadiul actual al dezvoltării în segmentarea imaginilor:

Segmentarea utilizând GPU este în general realizată prin metode iterative, unde un număr considerabil de iterații este necesar pentru obținerea etichetării în etapa finală. Metodele de pre-segmentare care utilizează GPU folosesc o strategie similară, conducând la supra-segmentare cu etichetare locală de calitate înaltă.

Majoritatea metodelor inițiale de segmentare pe GPU au fost realizate în scopul utilizării în medicină, unde accelerarea GPU a adus beneficii considerabile în manipularea matricilor tridimensionale foarte mari. Schenke și alții [26] au investigat oportunitatea oferită de hardware-ul paralel și au introdus o metodă de segmentare hibridă CPU-GPU, bazată pe extinderea regiunilor pornind de la puncte germen, prin operații de dilatare și eroziune. Hagan și alții [13] au utilizat un model LBM (Lattice Boltzmann Model) extins pentru a rezolva ecuația „level set”, într-o abordare iterativă care generează etichetări de calitate ridicată în detrimentul unui număr mare de iterații cu sincronizare CPU-GPU. Vineet și alții [29] au adaptat algoritmul „maxflow mincut” pentru CUDA, în care este utilizată metoda „tăierii grafului” pentru a parta un set de date într-o mulțime de sub-seturi disjuncte. Re-etichetarea grafului între numeroasele iterații de tăiere a grafului este realizată printr-o sincronizare intensiv computațională. Roberts și alții [25] folosesc un algoritm iterativ bazat pe „level set” cu o complexitate de $O(n*\log(n))$. Körbes și alții [15] au introdus un algoritm „watershed” paralel iterativ, în care o imagine este divizată în ferestre de dimensiune 16x16 și fiecare fereastră realizează o transformare watershed locală, pentru fiecare iterație a algoritmului. Collins și alții [8] au mapat problema cosegmentării pe operații de algebră liniară, care au fost realizate utilizând CUDA, oferind o soluție de cosegmentare de calitate înaltă la un cost computational scăzut. Ramirez și alții [24] au

segmentat volume cu o adaptare pe GPU a GrabCut, un algoritm de flux proiectat pentru partităonarea imaginilor. Similar cu [29], algoritmul Push-Relabel este implementat în CUDA, presupunând costuri de sincronizare.

Investigații recente în ce privește segmentarea executată pe GPU se bazează pe metode antrenabile [30][22][20][4][16], în care diversi algoritmi de învățare automată supervizați slab sunt utilizati pentru învățarea și detecția informațiilor în seturile de date. Segmentarea este astfel realizată cu metode de învățare automată precum Support Vector Machines (SVM), Markov Random Fields (MRF), Conditional Random Fields (CRF) sau Fully Convolved Networks (FCN). Totuși, costul acestor metode este prea mare pentru segmentările în timp real.

Algoritmii de pre-segmentare rezolvă problema segmentării numai local, utilizând de obicei strategii de ascensiune a gradientului, unde punctele germen sunt mutate iterativ în vecinătăți locale, etichetând imaginile la nivel local, în clustere mici numite superpixeli. Algoritmii de pre-segmentare au cel mai înalt nivel de performanță în ce privește timpul de rulare. Datorită vitezei, algoritmii de pre-segmentare reprezintă candidați excelienți pentru metodele de prelucrare în timp real, deoarece pot fi combinați cu strategii ieftine de unificare a regiunilor. De aceea algoritmii de pre-segmentare sunt preferați în detrimentul algoritmilor compleți de segmentare în aplicații critice. Fulkerson și alții [11] au utilizat supra-segmentare conservativă a regiunilor mici pentru a produce super-pixeli de dimensiune variabilă. Levenshtein și alții [17] au introdus TurboPixels, o metodă în care super-pixelii sunt calculați cu fluxuri geometrice iar punctele germen sunt iterativ perturbate pentru a acoperi vecinătăți locale. Algoritmul are o complexitate de $O(n)$, unde n este dimensiunea setului de date, și se bazează pe o serie de operatori de dilatare. Fulkerson și alții [12] propun o alterare a algoritmului Quick Shift, compatibilă cu CUDA, în care un spațiu de cinci caracteristici este utilizat pentru a stabili legătura dintre pixeli și clustere. Implementarea are o complexitate de $O(d^*n^2)$, unde d este o constantă, dar în practică este foarte rapidă, deoarece nu este iterativă. Singurul dezavantaj al metodei este controlul slab asupra dimensiunii și gradului de compactare al super-pixelilor rezultați. Achanta și alții [1] au introdus o metodă simplă de clusterizare liniară iterativă (SLIC – simple linear iterative clustering) în super-pixeli, unind pixeli pe baza similarității într-o manieră iterativă, dar limitând spațiul de căutare la o regiune proporțională cu dimensiunea superpixelului. Complexitatea algoritmului este $O(n)$. Achanta și alții [2] au îmbunătățit metoda din [1] cu o variantă a algoritmului numită SLICO. Li și alții [18] au îmbunătățit de asemenea calitatea segmentării SLIC [1] prin utilizarea unei strategii iterative de divizare și unificare. În fiecare iterație, superpixelii sunt divizați pe baza unei hărți de muchii și sunt apoi unificați cu superpixelul adiacent cu cea mai mică distanță Bhattacharyya. Această metodă obține o calitate ridicată în detrimentul unui timp mai scăzut de rulare. Li și alții [19] folosesc clusterizare spectrală liniară pentru a îmbunătății acuratețea segmentării SLIC, obținând un cost computațional foarte ridicat.

Dintre toate metodele de pre-segmentare discutate, cele mai potrivite pentru segmentare în timp real sunt ReallyQuickShift [12] și SLICO [2]. Ambele metode folosesc o strategie de clusterizare

bazată pe ascensiunea gradientului și oferă o calitate a segmentării rezonabilă pentru un timp de rulare foarte scăzut.

Invenția:

Segmentarea K-dimensională este o problemă de partitioanare în care un set de date S care conține n elemente K-dimensionale (o matrice K-dimensională) trebuie să fie împărțit în regiuni continue disjuncte, pe baza unor proprietăți de similaritate locală sau globală între elemente. Această problemă este rezolvată prin căutarea regiunilor disjuncte în S și determinarea celei mai bune soluții.

Metodele de extindere a regiunilor sau de clusterizare determină această partitioanare prin încercarea iterativă de unire a elementelor din afara clusterelor, după cum este ilustrat în Figura 3. Metodele tradiționale precum k-means [14] explorează întregul set, producând un spațiu de căutare extrem de mare, care se explorează destul de greu. Metode de pre-segmentare prin extinderea regiunilor ca SLIC [2] limitează spațiul de căutare la o vecinătate foarte mică a clusterului, garantând o explorare rapidă a spațiului de căutare, dar neputând să detecteze segmente (regiuni) foarte mari.

Strategia propusă de inventia noastră combină avantajele celor două abordări: numărul mic de elemente explorate de abordarea SLIC și spațiul mare de căutare al metodelor tradiționale, ducând în același timp la o viteză de execuție foarte mare și la conexiuni de-a lungul întregului set. Metoda de segmentare rară cu trasare de raze funcționează identic pe matrici de orice dimensiuni, dar pentru simplitate este ilustrată pe imagini bidimensionale.

Algoritmul de segmentare complet este ilustrat sumar în Figura 4: calculul fluxului, generarea punctelor germen (a generatorilor), explorarea spațiului prin trasarea razelor și conectarea regiunilor parcuse.

Fluxul reprezintă rata de schimbare a matricii de intrare. Poate fi un simplu gradient adaptiv pentru imagini color/în niveluri de gri și este extrem de ieftin de calculat pe GPU. Pentru imagini de adâncime (de exemplu, cele obținute de la dispozitivul de achiziție Sound of Vision) s-a utilizat un gradient adaptiv care ține cont de eroarea de estimare a senzorului de adâncime. Un exemplu de flux se poate observa în Figura 4.2.

Pozitionarea punctelor germen este inițial generată printr-un şablon pseudo-aleator de-a lungul întregului set. De exemplu, pentru imagini 2D, oricare din secvențele Sobol, van der Corput sau Hammersly pot fi utilizate. După generarea pozițiilor inițiale, se utilizează o strategie bazată pe ascensiunea gradientului pentru distanțarea punctelor germen de zonele cu flux ridicat, utilizând următorul algoritm, redat în pseudocod:

Pseudocode 1. Pozitionarea punctelor germen

```

1: seedPos ← getPseudoRandomPosition()
2: iterations ← 0

```

```

3: flux ← getFlux(seedPos)
4: while flux > Threshold and iterations < MaxIterations
5:   fluxDirection ← getFluxDirection(seedPos)
6:   seedPos ← seedPos + fluxDirection
7:   flux ← getFlux(seedPos)
8:   iterations ← iterations + 1
9: return seedPos

```

Un exemplu al distribuției rezultate a punctelor german poate fi observată în Figura 4.3, colorată cu o funcție de hash Jenkins aplicată peste indicii punctelor german.

După generarea pozițiilor punctelor german, din fiecare astfel de punct sunt trimise raze prin imagine în vederea acoperirii rapide a întregului spațiu de căutare. Razele au multiple cazuri de terminare, după cum se poate observa în Figura 5: întâlnirea unui pixel care a fost parcurs de o altă rază, întâlnirea unei zone de flux ridicat (o muchie) sau acumularea de flux.

Razele suportă de asemenea reflexii pe marginile imaginii sau în zone de flux ridicat (muchii), reprezentând exploratori eficienți chiar și pentru cazuri complicate. Razele numeroase sunt cu ușurință distribuite pe toate nucleele de procesare disponibile. Rezultatul razelor traseate dar neconectate se poate observa în Figura 4.4.

O structură arborescentă este creată peste punctele german, care leagă toate punctele de plecare ale întregului set de date. Inițial toate punctele german pornesc ca arbori separați. Cu fiecare conexiune între raze, numărul de arbori separați scade. În vederea minimizării înălțimii arborilor atunci când două raze se întâlnesc, numai punctele german sunt conectate. Deoarece sincronizarea datelor pe GPU poate fi implementată eficient numai prin operații atomice, trebuie stabilită o ierarhie atunci când două puncte german sunt conectate. Noi am utilizat indicele minim al punctelor care trebuie conectate. Următorul algoritm este utilizat pentru conectarea a două puncte german:

Pseudocod 2. Conectarea a două puncte german

```

getGreatestParent(initial_seedId)
1: seedId ← initial_seedId
2: while seedId ≠ getParentId(seedId)
3:   seedId ← getParentId(seedId)
4: return seedId

ConnectSeeds(seedId1, seedId2)
1: parent1.id ← getGreatestParent(seedId1)
2: parent2.id ← getGreatestParent(seedId2)
3: if parent1.id < parent2.id
4:   atomicExchange(parent2.parentId, parent1.id)
5: else
6:   atomicExchange(parent1.parentId, parent2.id)

```

Fiecare rază menține un set de proprietăți legate de spațiul traversat, incluzând valoarea medie a punctelor, varianța și valoarea ultimelor T puncte traversate. Proprietățile sunt salvate într-un buffer auxiliar (matricea $TProps$ din pseudocodul 3). O conexiune potențială între puncte germen are loc atunci când o rază întâlnește puncte traversate de altă rază. Conexiunea este realizată numai dacă există potrivire locală și globală între cele două puncte germen. Conexiunea are loc numai dacă proprietățile celor două raze sunt similare. Următorul pseudocod descrie acest proces:

Pseudocod 3. Trasarea de raze

Initialization Pass:

- 1: initialize label matrix $Labels$ to empty
- 2: initialize traced properties matrix $TProps$ to empty

Ray Tracing Pass (1 thread per each ray per seed):

- 1: $seed \leftarrow getSeed(ray.id)$
- 2: $rayProperties \leftarrow initializeRayProperties()$
- 3: $iterations \leftarrow 0$
- 4: $pos \leftarrow seed.pos$
- 5: **while** $iterations < MaxIterations$
 - 6: $flux \leftarrow readFlux(pos)$ *//from flux matrix*
 - 7: **if** $flux > MaxFlux$
 - 9: **end** *//high flux (edge) termination case*
 - 10: $input \leftarrow readInput(pos)$ *//from input image*
 - 11: $updateRayPropertiesInputFlux(rayProperties, input,$
 - 12: $flux)$
 - 13: **if** $rayPropertiesDeviateFromCluster(rayProperties)$
 - 14: **end** *//average value of the last T traced pixels*
 - 15: *//deviates from average value of the ray*
 - 16: **if** ($rayProperties.accumulatedFlux > AccMaxFlux$)
 - 17: **end** *//accumulating enough flux termination case*
 - 18: $scatterDir \leftarrow getScatteringBasedOnAccumFlux()$
 - 19: *//see Figure 6*
 - 20: $id \leftarrow readLabel(pos)$
 - 21: **if** id is undefined
 - 22: *//the pixel has not been traversed by other rays*
 - 23: $writeLabel(pos, seed.id)$
 - 24: $writeTraceProperties(pos, rayProperties)$
 - 25: **else**
 - 26: **if** $alreadyConnectedNets(seed.id, id)$
 - 27: **end** *//the seeds are already part of the same forest (they have the same greatest parents)*
 - 28: $posProperties \leftarrow readProperties(pos)$
 - 29: **if** $rayProperties$ not_similar $posProperties$
 - 30: **end**
 - 31: $updateRayProperties(rayProperties, posProperties)$
 - 32: *//update with the properties of the other ray traced through pos*
 - 33: $writeTraceProperties(pos, rayProperties)$
 - 34: $ConnectSeeds(seed.id, id)$
 - 35: **if** ($ray.dir + scatterDir$) aligned to image axes
 - 36: $pos \leftarrow pos + ray.dir + scatterDir$

```

38:      else
39:          pos ← StaircaseTracing (ray.dir+scatterDir)

```

Traversarea conservativă este utilizată dacă direcția unei raze nu se aliniază perfect cu axele imaginii, în vederea asigurării detecției de conexiuni chiar și în cazuri dificile, după cum se poate observa în Figura 6 (dreapta). În plus, devierea slabă a direcției este utilizată dacă raza acumulează suficient flux, în vederea ghidării razei departe de regiunile cu flux mare către cele cu flux mic, urmărind aceleași principii ca transformarea watershed. Reflectanța stocastică a razelor către regiuni de flux local mic împiedică razele să realizeze conexiuni riscante în regiuni de flux ridicat, după cum este ilustrat în Figura 6 (stânga).

În final, după ce toate razele sunt trasate, ramâne o mică posibilitate ca două raze să se termine aproape una de celalaltă, dar nici una din ele să nu realizeze un caz de conexiune. Astfel, un pas în plus este necesar pentru a impune conectivitatea. Pasul final actualizează fiecare pixel la punctul germen părinte final. Punctele germen fără părinte, care acționează ca rădăcini în structura arborescentă construită peste imaginie, reprezintă id-urile de segmentare unice. Pseudocodul pentru forțarea conectivității este urmatorul:

Pseudocod 4. Forțarea conectivității (în paralel pentru fiecare pixel)

```

1: pos ← getPos(pixel)
2: seedId ← readLabel (pos)
3: properties ← readProperties(pos)
4: flux ← readFlux(pos)
5: foreach posN neighbor of pos
6:     seedNId ← readLabel(posN)
7:     propertiesN ← readProperties(posN)
8:     fluxN ← readFlux(posN)
9:     if properties similar propertiesN
10:        if max(flux, fluxN) < MaxFlux
11:            ConnectSeeds(seedId, seedNId)

```

Numărul de operații de acces al memoriei în această metodă este foarte mic. Trasarea pachetelor (“packet tracing”) poate fi utilizată pe raze, iar împachetarea per punct germen conduce la rezultate bune deoarece în mod uzual fiecare generator trimite raze comparabile ca lungime și cu conexiuni similare.

Trasarea razelor a fost îmbunătățită prin modificarea algoritmului clasic de rasterizare DDA și transformarea lui într-unul conservativ. Această îmbunătățire elimină un număr ne-necesar de operații de acces al memoriei. Utilizarea direcțiilor predefinite poate scădea de asemenea costul computațional de traversare a spațiului.

Segmentarea rară este suficientă pentru un număr mare de aplicații practice de segmentare, dar în anumite cazuri o segmentare completă este de dorit. Această etapă optională este prezentată în continuare.

După etichetarea rară a spațiului, id-urile unice de segmentare pot fi considerate ca o rețea rară peste imagine. Filtrarea este implementată prin conectarea pixelilor care nu au etichete, într-un proces iterativ, fiecare iterație având două etape. În prima etapă pixelii sunt conectați prin aceleași principii ca în pasul anterior, de conexiune a razelor. În a două etapă pixelii sunt conectați pe baza unei similarități în interiorul unei vecinătăți.

Pseudocodul pentru filtrarea exactă este următorul:

Pseudocode 5. Filtrarea exactă (labeling complet) – prima etapă (pentru fiecare pixel)

```

1: pos ← getPos(pixel)
2: if readLabel(pos) not undefined
3:   end
4: steps ← 0
5: for rayId ← 1, rayId < NumRays, rayId++
6:   alive[rayId] ← true
7:   rayProperties[rayId] ← empty
8: for steps ← 1, steps < MaxSteps, steps++
9:   for rayId ← 1, rayId < NumRays, rayId++
10:    if not alive[rayId]
11:      continue
12:    ray ← getRay(rayId)
13:    if ray.dir aligned to image axes
14:      rpos ← pos + steps · ray.dir
15:    else
16:      rpos ← StaircaseTracing(ray.dir)
17:    flux ← readFlux(rpos)
18:    if flux > MaxFlux
19:      alive[rayId] ← false
20:      continue
21:    input ← readInput(rpos)
22:    updateRayProperties(properties[rayId], input)
23:    seedId ← readLabel(rpos)
24:    if seedId not undefined
25:      posProperties ← readProperties(rpos)
26:      if properties[rayId] similar posProperties
27:        writeLabel(pos, seedId)
28:      end
29:    else
30:      alive[rayId] ← false

```

A două etapă de filtrare, bazată pe similaritate, este identică cu etapa de filtrare exactă cu excepția constrângerilor bazate pe potrivirea proprietăților. Procesul de filtrare este aplicat iterativ, însă în general este nevoie de un număr foarte mic de iterări (2 sau 3) pentru a eticheta întregul set de date.

Unificarea regiunilor este un alt proces optional, care poate conduce la îmbunătățiri calitative semnificative, după cum se poate observa în Figura 7. Unificarea este de asemenea un proces iterativ ce conține mai multe etape. În prima etapă se pornește de la imaginea complet etichetată și fiecare punct german trimite raze scurte pentru a obține statistici despre etichetarea locală.

Apoi, în etapa a doua se acumulează informații în părintele final al fiecărui punct germen, utilizând operații atomice pentru a sincroniza scriserile. În a treia etapă se rulează o metodă per-pixel care compară toți vecinii potențiali dintr-un nucleu cu pixelul central. Dacă proprietățile se potrivesc dar etichetarea este diferită, atunci cele două etichete sunt unificate.

Atât filtrarea cât și unificarea regiunilor cresc calitatea etichetării, în timp ce costurile suplimentare conduc în continuare la timpi de procesare comparabili cu cei ai metodelor de ultimă oră de (pre)segmentare, după cum este ilustrat în Figura 9.

Evaluarea inventiei în comparație cu metodele deja existente de segmentare:

Metodologia de evaluare a rezultatelor compară segmentarea rară cu trasare de raze atât calitativ cât și din punct de vedere al vitezei cu cele mai rapide metode de segmentare pe GPU, cu **ReallyQuickShift Error! Reference source not found.** și **SLICO Error! Reference source not found..** În timp ce acestea sunt metode de pre-segmentare și necesită procesare suplimentară pentru producerea de segmentări complete, ele reprezintă singura categorie de metode care sunt comparabile în timp cu metoda prezentată. Din punctul de vedere al vitezei, segmentarea rară cu trasare de raze are o complexitate de $O(n/tsize)$, fiind mult mai rapidă decât orice algoritm complet de segmentare pe GPU, cel mai rapid având complexitatea $O(n * \log n)$.

Rezultatele arată că metoda propusă are rezultate locale bune, după cum este prezentat în Figura 8, și rezultate de viteză excepționale, după cum este prezentat în Figura 9. Metoda propusă obține segmentare completă în mai puțin timp decât au nevoie metodele actuale să finalizeze segmentările locale.

Figura 8 prezintă rezultatele calitative ale segmentării prin trasarea de raze, unde diferite imagini sunt segmentate și comparate cu segmentări consacrate. Testarea calitativă include atât varianta rară (în care se trasează numai razele) cât și filtrată (când se etichetează tot setul de date) a algoritmului prezentat, și ferestre de dimensiuni diferite care afectează direct numărul de puncte germen. Astfel, a patra coloană din Figura 8 necesită mărire, deoarece rezultatele sunt obținute cu o valoare de raritate/risipire foarte mică.

Figura 9 prezintă rezultatele de viteză, unde segmentarea bazată pe trasarea de raze are în mod consistent timpi de rulare de aproximativ 5 ori mai mari decât SLIC și de aproximativ 20 de ori mai mari decât ReallyQuickShift. Figura ilustrează faptul că metoda propusă obține timpi de rulare aproximativ egali cu SLIC chiar și utilizând pasul optional de filtrare. Din Figura 9 se poate observa de asemenea că metoda prezentată are o degradare sub-liniară a performanței în ce privește numărul de pixeli, fiind ideală pentru seturi de date mari și foarte mari.

Segmentarea rară bazată pe trasarea de raze este o metodă flexibilă, unde compromisul între calitate și viteză este controlat printr-un singur parametru de risipire. Aceasta poate fi folosită chiar ca o metodă de pre-segmentare, după cum este ilustrat în Figura 10. Pre-segmentarea rezultată conservă o mare parte din structura locală dar descoperă complet și unifică segmente

foarte mari, diferențiiindu-se față de metodele existente de pre-segmentare care partaționează astfel de segmente.

O limitare a abordării noastre este dependența de calculul fluxului, care poate conține mulți parametri, în special dacă se utilizează o soluție neadaptivă. Explorarea rară a spațiului conduce la posibile erori cauzate de zgromot. O altă limitare este faptul că metoda a fost proiectată pentru utilizare în cazuri uzuale (urmărirea video, detecția de caracteristici importante, utilizare în timp real) și nu reprezintă alegerea perfectă pentru cazuri de segmentare specializată unde calitatea este mult mai importantă decât viteza (exemplu: OCR).

Segmentarea rară bazată cu trasare de raze este deja utilizată într-o aplicație practică în cadrul sistemului Sound of Vision [32], unde segmentează cadre video de adâncime în rimp real, utilizând un detector de flux adaptiv exponențial. Datorită costului computațional foarte scăzut al segmentării, aceasta poate fi folosită într-un flux de lucru complex, împreună cu alte module ca detecția caracteristicilor, estimarea normalelor, stabilizarea și filtrarea semnalelor, analiza pentru determinarea spațiului navigabil, etichetarea obiectelor și codificarea elementelor mediului în semnale audio și haptice.

Referinte:

- [1] R. Achanta, A. Shaji, K. Smith, A. Lucchi, P. Fua, and S. Süsstrunk, SLIC Superpixels, EPFL Technical Report no. 149300, 2010.
- [2] R. Achanta, A. Shaji, K. Smith, A. Lucchi, P. Fua, and S. Süsstrunk, SLIC Superpixels Compared to State-of-the-art Superpixel Methods, IEEE Transactions on Pattern Analysis and Machine Intelligence, vol. 34, num. 11, p. 2274 - 2282, 2012.
- [3] D. Arthur, S. Vassilvitskii, k-means++ : The advantages of careful seeding, Proceedings of SODA '07 Proceedings of the eighteenth annual ACM-SIAM symposium on Discrete algorithms, pp. 1027-1035, 2007.
- [4] G. Bertasius, L. Torresani, S. Yu, X. Stella and J. Shi, Convolutional Random Walk Networks for Semantic Image Segmentation, The IEEE Conference on Computer Vision and Pattern Recognition (CVPR), 2017.
- [5] Y. Beevi and S. Natarajan, An efficient Video Segmentation Algorithm with Real time Adaptive Threshold Technique, 2009.
- [6] S. Boulos, D. Edwards, J. Lacewell, J. Kniss, J. Kautz, P. Shirley, I. Wald, Packet-based whitted and distribution ray tracing, Proceedings of Graphics Interface, 2007, pp 177-184
- [7] R. Cinbis, J. Verbeek, and C. Schmid. Multi-fold mil training for weakly supervised object localization. Conference on Computer Vision and Pattern Recognition, 2014.
- [8] M. Collins, J. Xu, L. Grady and V Singh, Random Walks based Multi-Image Segmentation: Quasiconvexity Results and GPU-based Solutions, Proceedings of the 2012 IEEE Conference on Computer Vision and Pattern Recognition, pp 1656-1663, 2012
- [9] D. Comaniciu, P. Meer, Mean Shift: A Robust Approach Toward Feature Space Analysis, IEEE Transactions on Pattern Analysis and Machine Intelligence, vol 24, iss 5, pp 603-619, 2002
- [10] P. Felzenszwalb, D. Huttenlocher, Efficient Graph-Based Image Segmentation, Journal of Computer Vision, vol. 59, iss. 2, pp 167-181, 2004
- [11] B. Fulkerson, A. Vedaldi and S. Soatto, Class Segmentation and Object Localization with Superpixel Neighborhoods, IEEE 12th International Conference on Computer Vision, 2009.
- [12] B. Fulkerson and S. Soatto, Really quick shift: Image segmentation on a GPU, Proceeding ECCV'10 Proceedings of the 11th European conference on Trends and Topics in Computer Vision, pp 350-358, 2010.
- [13] A. Hagan and Y. Zhao, Parallel 3D Image Segmentation of Large Data Sets on a GPU Cluster, International Symposium on Visual Computing, pp 960-969, 2009.

- [14] T. Kanunogo, D. Mount, N. Netanyahu, C. Piatko, R. Silverman, A. Wu, An Efficient k-Means Clustering Algorithm : Analysis and Implementation, IEEE Transactions on Pattern Analysis and Machine Intelligence, vol. 24, no. 7, 2002.
- [15] A. Körbes, G. Vitor, R. Lotufo and J. Ferreira, Analysis of a step-based watershed algorithm using CUDA, International Journal of Natural Computing Research, 2010.
- [16] C. Lea, M. Flynn, R. Vidal, A. Reiter, G. Hager, Temporal Convolutional Networks for Action Segmentation and Detection, The IEEE Conference on Computer Vision and Pattern Recognition (CVPR), 2017.
- [17] A. Levinstein, A. Stere, K. N. Kutulakos, D. J. Fleet, S. J. Dickinson and K. Siddiqi, TurboPixels: Fast superpixels using geometric flows, Transactions on Pattern Analysis and Machine Intelligence, pp. 2290–2297, 2009.
- [18] L. Li, J. Yao, J. Tu, X. Lu, K. Li, and Y. Liu, Edge-Based Split-and-Merge Superpixel Segmentation, IEEE International Conference on Information and Automation, 2015
- [19] Z. Li, J. Chen, Superpixel Segmentation using Linear Spectral Clustering, IEEE Conference on Computer Vision and Pattern Recognition, 2015
- [20] J. Long, E. Shelhamer, T. Darrell, Fully Convolutional Networks for Semantic Segmentation, Computer Vision and Pattern Recognition, 2015.
- [21] M. McGuire, M. Mara, Efficient GPU Screen-Space Ray Tracing, Journal of Computer Graphics Techniques, Efficient GPU Screen-Space Ray Tracing, Vol. 3, No. 4, 2014
- [22] A. Mustafa, and A. Hilton, Semantically Coherent Co-Segmentation and Reconstruction of Dynamic Scenes, The IEEE Conference on Computer Vision and Pattern Recognition (CVPR), 2017.
- [23] S. Paris, Edge-preserving Smoothing and Mean-shift Segmentation of Video Streams, Proceeding ECCV '08 Proceedings of the 10th European Conference on Computer Vision: Part II, pp 460-473, 2008.
- [24] E. Ramírez, P. Temoche, R. Carmona, A volume segmentation approach based on GrabCut, CLEI Electronic journal, vol. 16, 2013
- [25] M. Roberts, J. Packer, M. Sousa and J. Mitchell, A Work-Efficient GPU Algorithm for Level Set Segmentation, High Performance Graphics, 2010.
- [26] S. Schenke, B. Wünsche, J. Denzler, GPU Based Volume Segmentation, In Proc. of IVCNZ '05, 2005.

- [27] J. Shi and J. Malik, Normalized Cuts, IEEE Transactions on Pattern Analysis and Machine Intelligence, vol. 22, no. 8, 2000.
- [28] P. Soille, Constrained Connectivity for Hierarchical Image Partitioning and Simplification, IEEE transactions on pattern analysis and machine intelligence, vol. 30, no. 7, 2008.
- [29] V. Vineet and P. Narayanan, CUDA Cuts: Fast Graph Cuts on the GPU, 2008.
- [30] H. Zhu, F. Meng, J. Cai and S. Lu, Beyond pixels: A comprehensive survey from bottom-up to semantic image segmentation and cosegmentation, Journal of Visual Communication and Image Representation, 34, pp 12-27, 2016
- [31] A. Abramov, T. Kulvicius, F. Wörgötter, and B. Dellen, Real-time image segmentation on a GPU, Facing the multicore-challenge, pp 131-142, 2010.
- [32] <https://soundofvision.net/>
- [33] S. Caraiman, A. Morar, M. Owczarek, A. Burlacu, D. Rzeszotarski, N. Botezatu, P. Herghelegiu, F. Moldoveanu, P. Strumillo, A. Moldoveanu, Computer vision for the visually impaired: the Sound of Vision system, IEEE International Conference on Computer Vision Workshops (ICCVW), pp. 1480-1489, 2017.

REVENDICARI

- **Revendicarea 1:** Se revendică **sistemul pentru segmentarea imaginilor video în timp real, bazat pe trasare de raze**, caracterizat în primul rând prin faptul că este capabil să realizeze operații de segmentare a imaginilor și matricilor multi-dimensionale într-un mod inedit, printr-o eșantionare rapidă a spațiului setului de date de intrare, în detrimentul acoperirii tuturor punctelor dintr-o vecinătate locală. Metoda de segmentare propusă are un grad înalt de paralelizare, conducând la o segmentare rapidă, în timp real. Sistemul este compus din următoarele elemente:
 - a. Un dispozitiv de achiziție sau de generare a matricilor bi- sau multi-dimensionale
 - b. Un modul opțional de pre-procesare a datelor de intrare (ex: filtrarea zgomotelor, calculul unei hărți de normale pornind de la imagini de adâncime)
 - c. Un modul de segmentare rară prin trasarea de raze care obține la ieșire regiuni continue disjuncte, prin metoda de segmentare descrisă în Revendicarea 2
 - d. Un modul de post-procesare care utilizează regiunile disjuncte în funcție de scopul aplicației

Figura 1 prezintă schema de funcționare a sistemului și oferă explicații suplimentare cu privire la sub-sistemele constitutive

- **Revendicarea 2:** Se revendică **metoda de segmentare a imaginilor video și a matricilor multi-dimensionale în timp real, bazată pe trasare de raze**, caracterizată prin următoarea succesiune de etape:
 - **Etapa 1:** Calcularea unui flux peste matricea de intrare, care descrie rata de schimbare a valorii unui element relativ la vecinătatea aceluia element (acest flux se poate estima prin diferențe finite)
 - o Exemplu de implementare: în cazul imaginilor video 2D, acest flux poate fi gradientul; în cazul imaginilor de adâncime, se poate calcula un flux adaptiv, care ține cont de eroarea senzorului de adâncime (care crește o dată cu distanța de la senzor)
 - **Etapa 2:** Împărțirea matricii de intrare în sub-regiuni egale (în cazul 2D, imaginile sunt împărțite în dreptunghiuri egale de dimensiune 4x4, 16x16 pixeli sau altă dimensiune, dată ca parametru de intrare) și alegerea unui punct germen pentru fiecare sub-regiune. Aceste puncte germen acoperă cât mai omogen spațiul setului de date de intrare.
 - o Exemplu de implementare și optimizare: Pozițiile punctelor germen pot fi alese folosind secvențe de tipul Sobol, Hammersly și Van der Corput sau distribuții Poisson. După construcție, generatorii sunt mutați iterativ departe de zonele de flux mare, pentru a maximiza șansele de generare de regiuni de segmentare din zone cu flux scăzut, adică zone în care similaritatea dintre vecini este mare.
 - **Etapa 3:** Trasarea de raze multiple plecând de la puncte germen. Această trasare garantează o acoperire eficientă a întregului set de date, dar cu un număr foarte mic de

eșantione, minimizând costurile explorării spațiului de căutare. Fiecare rază conține statistici despre elementele din spațiul traversat.

- Exemplu de implementare și optimizare: Pentru imagini 2D, trasarea presupune parcurgerea pixelilor cu raze care sunt trimise în 8 direcții: pe verticală (sus, jos), pe orizontală (stânga, dreapta) și pe cele patru direcții diagonale. Traversarea spațiului este făcută cu rasterizare conservativă bazată pe algoritmul Digital Differential Analyzer modificat.
- **Etapa 4:** Conecțarea punctelor german (și implicit, a razelor care aparțin de acele puncte german) în momentul în care razele trasate se intersecțează. Conecțarea se face doar în condiții de similaritate între razele care se intersecțează (dacă elementele din spațiile parcuse de raze au proprietăți similare). La conejarea a două puncte german, unul dintre ele devine părintele celuilalt punct german. Astfel, punctele germane conejate prin raze sunt unite, rezultând în final un set de puncte germane părinte care partajează matricea de intrare în regiuni continue care nu se suprapun unele cu celelalte.
- **Etapa 5:** Extinderea opțională a regiunilor generate pentru a acoperi complet setul de date inițial, utilizând un proces de filtrare în doi pași:
 - **Pasul 1:** Pentru fiecare element ne-etichetat, se trimit raze care eșantionează spațiul. Atunci când o rază întâlnește o regiune, dacă proprietățile razei sunt asemănătoare cu cele ale regiunii, elementul ne-etichetat primește id-ul regiunii respective.
 - **Pasul 2:** Elementele care nu au fost etichetate încă în pasul 1 și care nu se află pe zone de flux mare, sunt prelucrate prin eșantionarea regiunilor care se află în vecinătatea lor. Elementul ne-etichetat primește id-ul regiunii din vecinătate care are proprietățile cele mai similare cu acelea ale elementului respectiv.
- **Etapa 6:** Unirea opțională a sub-seturilor generate, folosind un proces iterativ de calcul de statistici în interiorul regiunilor și de unificare a regiunilor vecine pe baza acestor statistici (dacă aceste două regiuni au proprietăți similare).

Rezultatul aplicării metodei este un set de regiuni continue disjuncte, fiecare regiune conținând elemente cu proprietăți similare. Acest rezultat poate fi folosit ulterior la segmentarea semantică a imaginilor video sau a matricilor multi-dimensionale (de exemplu, seturi de date CT).